

tronów, są podstawą do przypuszczeń, że trudności te zostaną przyczyną w znacznym stopniu zmniejszone.

Niniejszej książki jest zapoznanie czytelnika z zasadą działania polprzewodnikowych, ich konstrukcją i właściwościami. Niejednokrotnie poświęcono także laserom złączowym sprężonym matematycznych opartych na technice światowej.

Te ostatnie mogą być w przyszłości przydatne w dziedzinie zadowolonym, który jak dotąd znalazły najszersze zastosowanie logii laserów złączowych, jest arsenek galu. Fakt ten należy zarówno własnościom fizycznym arsenku galu, szczególnie innym do wymuszenia akcji laserowej, jak również stosunkowo nowanej technologii syntez oraz monokrystalizacji tego półwyspka. Dlatego też przeważająca część materiału zawartego będzie dotyczyć laserów wykonanych z arsenku galu.

1. PODSTAWOWE POJĘCIA Z ZAKRESU ELEKTRONIKI KWANTOWEJ

1.1. Pojęcie spójności promieniowania

Svetlo rozpatrywane jako promieniowanie elektromagnetyczne charakteryzuje się natężeniem, częstotliwością oraz fazą i polaryzacją składającymi się na nie fal. O ile dwie pierwsze cechy spostrzega się stosunkowo łatwo np. za pomocą oka, jeśli widmo leży w pasmie widzialnym, o tyle różnice w fazie możemy stwierdzić dopiero drogą specjalnych doświadczycieli. Zwykłe polegają one na badaniu interferencji między falami wysyłanymi z różnych punktów źródła lub z tego samego punktu, lecz w różnych chwilach czasu. Interferencja jest wynikiem wektorowego sumowania się ciągów fal i jest dowodem istnienia korelacji między fazą drgan w poszczególnych ciągach. Promieniowanie wykazujące taką korelację fazową nazywa się *spójnym*¹⁾.

Doświadczenie przeprowadzane z klasycznymi źródłami światła wskazuje, że nawet w przypadku gdy emitowane promieniowanie ma bardzo wasicie widmo, a więc jest prawie monochromatyczne, spójność występuje jedynie między ciągami fal rozchodzących się dostatecznie blisko siebie w sensie przestrzeni i czasu. Dla jasności mówią zatem o spójności przestrzennej i spójności czasowej.

Przez pojęcie spójności przestrzennej rozumie się stopień korelacji między fazami promieniowania monochromatycznego emitowanego przez dwa różne punkty źródła o skończonych wymiarach. Miarą tej korelacji jest zdolność do interferencji.

Spójność czasowa można ocenić badając interferencję między ciągami fal wychodzącymi z jednego punktu źródła, lecz przebywającymi drogi o różnej długości. Interferencja przestaje występować po przekroczeniu pewnej różnicy długości dróg takiej, że w przedziale czasu Δt , potrzebnym do jej pokonania, nastąpiła przypadekowa zmiana fazy. Ten kry-

¹⁾ Pojęcie korelacji zostało tu użyte w powszechnie przyjętym dla tego słowa znaczeniu odpowiedniości. Bardziej precyzyjne omówienie zagadnienia spójności promieniowania wykracza poza ramy niniejszej książki. Można je znaleźć np. w pracy Borna i Wolfa [1.2].

przeciążal czasu Δt okresla właśnie spójność czasową, tzn. dla $t \ll \Delta t$ promieniowanie można uważać za prawie spójne. Brak ją fazy w czasie oznacza jednoceśnie, że promieniowanie nie jest monochromatyczne. Szerokość jego widma $\Delta\nu$ jest odwrotnie proporcjonalna do przedziału czasu Δt określającego spójność czasową. Użyte wyrażenie „prawie spójne” ma na celu podkreślenie faktu, że “wyrodzic nie występują źródła emisji” oznacza, że dla przedziału czasu Δt spójność promieniowania idealnie podobnie jak nie ma źródła światła scisiałasie monochromatycznego.

1.2. Zjawiska absorpcji emisji i wzmacniania

odnie n podstawowym założeniem fizyki kwantowej atomy oraz cząstki mogą pozostać jedynie w określonych stanach stacjonarnych, których każdy odpowiada określona wartości energii nazywaną energią układu atomowego. Może się zdarzyć, że jednemu poziomowi odpowiada więcej stanów niż jeden, występuje wówczas tzw. degeneracja poziomu, a liczba stanów o tej samej energii nazywa się wielością poziomu. Obsadzenie poszczególnych poziomów w stanie równowagi cieplnej jest określone przez prawo Boltzmanna, które dla układu nam zdegenerowanymi pozostającym w temperaturze T może być opisane w postaci

$$\frac{N_n}{g_n} = \frac{N_m}{g_m} \exp\left(-\frac{E_n - E_m}{kT}\right) \quad (1.1)$$

z tym:
 N_n — liczba atomów w stanie n i m ;
 E_n — energia tych stanów;

g_n — krotność poziomów n i m .
odnie ze wzorem (1.1) w warunkach równowagi cieplnej liczba N_n na poziomie o większej energii E_n jest mniejsza niż na poziomie mniejszej energii E_m .

Wystęcie z jednego stanu stacjonarnego w drugi może zajść jedynie wskutek absorpcji energii lub jej emisji, np. w postaci promieniowania. W przypadku promienistym powinien być spełniony warunek Bohra

$$\hbar\nu = E_n - E_m \quad (1.2)$$

z tym:

$$E_n > E_m \quad (1.3)$$

stała Plancka,

częstość promieniowania,

w innym poziomie energii nazywa się poziomem podstawowym. Atom swajacy na tym poziomie może jedynie吸收ować energię, w wyniku przekształcając na poziom wyższym. Proces taki nazywa się absorpcją, jeżeli prawdopodobieństwo zaabsorbowania energii promieniowania oznaczone przez B_{nm} a gęstość energii pobudzającej u_n , to prawdopodobieństwo absorpcji wyrazi się iloczynem

$$P_{nm} = u_n B_{nm} \quad (1.4)$$

Uzyskany w wyniku absorpcji rozkład energii atomów przestaje być zgodny z prawem Boltzmanna, uważa się wówczas, że układ atomów znajduje się w stanie wzbudzonym. Układ taki może przejść bez zewnętrznzej przyczyny do stanu podstawowego, oddając swą energię w postaci emisji promieniowania, zwanej emisją spontaniczną. Prawdopodobieństwo przejścia atomu do stanu niższego w wyniku emisji spontanicznej zostanie oznaczone przez A_{nm} . Jeśli przez N_n wyrazi się liczba atomów na n -tym poziomie, to całkowita liczba przejść w czasie jednej sekundy z poziomu n na poziom m będzie równa $N_n A_{nm}$, a emitowana moc promieniowania wyniesie $N_n(E_n - E_m)A_{nm}$.

Przejście atomu do poziomu niższego może być również zainicjowane np. przez promieniowanie elektromagnetyczne o odpowiedniej częstotliwości określonej przez warunek (1.2). Występuje wówczas zjawisko emisji wymuszonej, zwanej też niekiedy stimulowaną. Jest przy tym rzeczą charakterystyczną i zasadniczą wagą, że zarówno częstotliwość jak i faza promieniowania pochodzącego od emisji wymuszonej będą w tym przypadku identyczne z częstotliwością i fazą promieniowania wymuszającego.

Jeżeli prawdopodobieństwo wystąpienia emisji wymuszonej zostanie oznaczone przez B_{nm} , a gęstość promieniowania wymuszającego przez u_n , to prawdopodobieństwo przejścia układu ze stanu n do m w wyniku emisji wymuszonej będzie ilorazem tych dwóch wielkości, tzn. $u_n B_{nm}$.

Miedzy wymienionymi wyżoj wielkościami zachodzi zależność zwana związkami Einsteina, które mają postać:

$$g_n B_{nm} = g_m B_{mn} \quad (1.5)$$

$$A_{nm} = \frac{g_m g_n \nu}{c^2} B_{nm}$$

przy czym:

c — prędkość światła;
 ν — współczynnik zatamienia ośrodku.

Teraz zostanie rozpatrzonaz sytuacja, w której na układ atomów zajmujących stany podstawowy i pobudzony działa wiązka promieniowania o częstotliwości ν_{em} , odpowiadającej różnicy energii tych stanów. Liczba przejść w dół, tzn. emisyjnych, wykonanych w czasie jednej sekundy, będzie równa sumie

$$A_{nm} N_n + u_n B_{nm} N_n \quad (1.5)$$

$$u_n B_{nm} N_n$$

a liczba przejść w góre (absorpcyjnych) wyniesie odpowiednio

$$u_n B_{nm} N_m \quad (1.6)$$

Jesieli $N_n < N_m$ dla $n > m$, co występuje dla stanu równowagi, to rezultatem końcowym opisanego procesu będzie zmniejszenie intensywności wiązki wymuszającej, na korzyść emisji spontanicznej, która niekoniecznie musi zachodzić bezpośrednio między poziomami n a m .

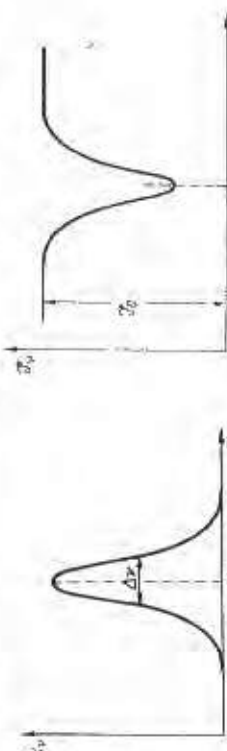
Należenie promieniowania przechodzącego przez rozpatrywany ośrodek jest funkcją częstotliwości promieniowania oraz przebytej przez go odległości i może być określone za pomocą wzoru

$$\mathcal{J}_v = \mathcal{J}_0 \exp(-k_v x) \quad (1.7)$$

którem:

\mathcal{J}_0 — natężenie promieniowania na powierzchni ośrodka;
 k_v — współczynnik absorpcji będący funkcją częstotliwości;
 x — odległość liczona od powierzchni.

Wykresując tę funkcję dla ustalonej wartości x otrzymuje się w praktyce krzywą jak na rys. 1.1. Wyznaczając na jej podstawie współczynnik absorpcji jako funkcję częstotliwości, dostaje się krzywą pokazaną na



Rys. 1.1. Charakterystyka widmowa absorpcji

s. 1.2. Można wykazać, że powierzchnia ograniczona przez tę krzywą zależy w sposób jednoznaczny ze współczynnikami Einsteina i zależność ta ma postać [1.1]

$$\int k_v dv = \frac{c^2 A_{nm}}{8\pi v^2 n^2} \frac{g_n}{g_m} \left(N_m - \frac{g_m}{g_n} N_n \right) \quad (1.8)$$

Ponieważ średni czas życia τ atomu w stanie pobudzonym jest odwrotnie proporcjonalny do prawdopodobieństwa przejścia, współczynnik A_{nm} w tym wzorze można zastąpić przez $\frac{1}{\tau}$, i w tej postaci będzie wykorzystany w jednym z następnych rozdziałów.

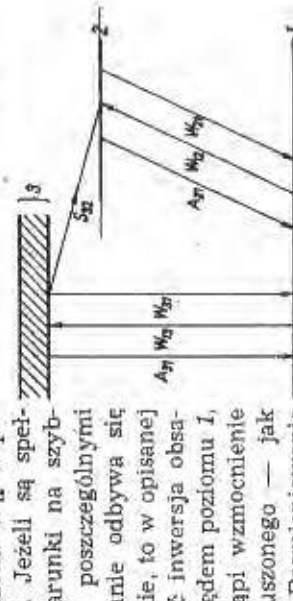
Teraz zostanie rozpatrzony układ, w którym liczba atomów wzbudzonych jest większa od liczby atomów w stanie podstawowym, tzn. chodzi o nierówność $N_n > N_m$ dla $n > m$. Sytuacja taka nażywa się asymetrycznego. Rozumując w sposób analogiczny do wyżej podanego, dochodzi się do wniosku, że w układzie z inwersją obsadznych wyżapi absorpcja ujemna, a więc wzmacnianie wiązki promieniowania wymuszającego. Wzmocnienie to jest konsekwencją przewagi promieniowania wymuszonego nad promieniowaniem absorbowanym. W matematycznie, w którym jest spełniony warunek absorpcji ujemnej w pewnym zakresie częstotliwości padającej światła, natężenie promieniowania

będzie wzrastać zgodnie z funkcją (1.7) po wstawieniu do jej wykładynika współczynnika wzmacnienia

$$a = -k_v \quad (1.9)$$

Na możliwości uzyskania wzmacnienia promieniowania w wyniku emisji wymuszonej została oparta koncepcja przyrządu zwanego laserem od angielskiego akronimu, czyli połączenia pierwszych liter nazwy angielskiej Light Amplification by Stimulated Emission of Radiation. Na marginesie warto dodać, że laser jest generatorem promieniowania, a nie jego wzmacniaczem, jak mogłyby to sugerować nazwa przyrządu.

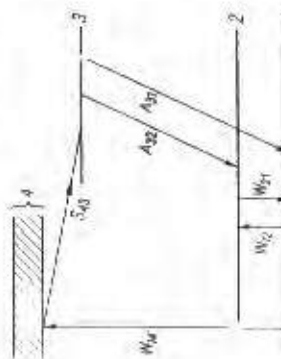
W celu zapoznania się z mechanizmem działania lasera zostanie rozpatrzony układ atomów, których poziomy energetyczne są usytuowane w sposób przedstawiony na rys. 1.3, przy czym czas życia atomu na poziomie 2 jest znacznie dłuższy niż na poziomie 3. Pod wpływem zewnętrznego przyczytu atomy mogą być pobudzone np. w taki sposób, że ich elektrony przejdą z poziomu 1 na poziom 3. Przejście to oznacza przez W_{13} . Stan taki jest oczywiście nietrwały i po krótkim czasie określonym przez czas życia części elektronów „spadnie” na poziom 1. Czemu towaryszy emisja spontaniczna A_{31} oraz wymuszona A_{31} . Początkowa część elektronów może jednak w wyniku emisji spontanicznej nieprzemijającej S_3 przejść na poziom 2. Czas życia atomu na tym poziomie jest, jak powiedziano wyżej, dłuższy niż na poziomie 3, wystąpi zatem pewnego rodzaju akumulacja elektronów na tym poziomie, chociaż będą one również spadały na poziom 1 w wyniku emisji wymuszonej W_{21} i spontanicznej A_{21} . Emisji tej będzie towarzyszyć promieniowanie. Niezależnie od wymienionych przejść, przez cały czas również będzie zachodzić absorpcja wymuszona W_{12} z poziomu 1 na poziom 2. Jeżeli są spełnione odpowiednie warunki na szybkości przejścia między połączonymi poziomami, a pobudzanie odbywa się dostatecznie intensywnie, to w opisanej sytuacji może wystąpić inwersja obsadzenia poziomu 2 względem poziomu 1, w wyniku czego wystąpi wzmacnianie promieniowania wymuszonego — jak stwierdzono to wyżej. Promieniowanie to roznosi się w ośrodku czynnym we wszystkich kierunkach i na ogół opuszcza ten ośrodek, nie mając wpływu na dalszy przebieg zjawiska. Jeżeli jednak stworzy się sprzężenie zwrotne, tzn. spowoduje powrót części energii do ośrodka czynnego, np. przez odbicie od odpowiednio ustawionych zwierciadeł, to promieniowanie o określonej energii i kierunku



Rys. 1.3. Schemat energetyczny trzypodziomowego układu atomów

znic ponownie udział w procesie wymuszania emisji. W warunkach h, jeśli wzmacnianie dostatecznie przewyższy straty, może dojść do budzenia się drgań w układzie. Częstotliwość tych drgań będzie na- rzucona przez odległość między poziomami 2 a 1 oraz właściwości wnęki rezonansowej, utworzonej przez ośrodek czynny i zwierciadła. Jest rze- zintuicyjnie wyczuwalna, że promieniowanie to będzie prawie mono- kromatyczne i jego fazy uporządkowane w takim stopniu, że można oznaczyć je za spójne. Proces generacji drgań w laserze określa się nie- dy terminem akcja laserowa, a moment ich wzbudzenia przeocze- m progu pobudzenia lasera. Konsekwentnie, stan lasera, w którym występuje akcja laserowa, jest często nazywany pobudzeniem la- sera.

Opisany wyżej laser nosi nazwę trójpodziomowego z uwagi na to, że w akcji laserowej biorą udział 3 po- ziomy. Do grupy laserów tego typu należą np. lasery wykonane z rubinu domieszkowanego chromem. Zasadnicza wada lasera trójpodziomowego jest konieczność wywołania inwersji obsadzeń w stosunku do poziomu podstawowego, z natury rzeczy obsa- nego elektronami. Znacznie łatwiej biłyby ją osiągnąć w układzie przedstawionym na rys. 1.4, w którym pożądana emisja wymusiona za- dzi między poziomami 3 i 2, podczas gdy źródłem elektronów jest ion podstawowy 1. Układ taki został w praktyce zrealizowany między linią w kryształku fluorku wapnia domieszkowanym jonami uranu oraz mieszaninie hel-neon. Lasery pracujące na tej zasadzie noszą nazwę czteropodziomowych. Mają one znaczną przewagę nad laserami trójpodzi- omowymi pod warunkiem, że odległość między poziomami 1 i 2 jest do- tycznie duża, a czas życia atomu na poziomie 2 znacznie krótszy od czasu życia atomu, na poziomie 3.



1.4. Schemat energetyczny czte- ropodziomowego układu atomów

2. ZASADA DZIAŁANIA LASERÓW ZŁĄCZOWYCH

2.1. Inwersja obsadzeń w półprzewodnikach

Opisane w poprzednim rozdziale przejście optyczne, w wyniku którego zachodzi emisja światła spójnego, występuwały między poziomami energetycznymi o dokładnie określonej energii. W sytuacji tej miara inwersji obsadzeń poziomów był stosunek całkowitej liczby atomów w stanie wyższym do liczby atomów w stanie niższym. W przypadku półprzewodników zagadnienie to znacznie się komplikuje, gdyż stanów osiągalnych dla elektronów są tutaj zgrupowane w pasmach rozciągających się w stosunkowo dużym zakresie energii. Na rys. 2.1 przedstawiono obraz takich pasm dla półprzewodnika domieszkowanego niewielką ilością akceptorów i donorów. Linią przerywaną zaznaczono rozkład gęstości stanów $N(E)$ w poszczególnych pasmach. Należy zwrócić uwagę, że obraz ten jest słuszny jedynie dla małych koncentracji domieszka. Zc. wzrostem koncentracji pasma domieszkowe przesuwają się, a następnie całkowicie się zlewają z pasmami głównymi, w wyniku czego zmieniają się całkowicie rozkład gęstości stanów oraz szerokość pasma zabronionego.

Prawdopodobieństwo obsadzenia przez elektron poziomu o energii E jest opisane przez stały styk Fermiego-Diraca i dla stanu równowagi termodynamicznej wyraża się funkcja

$$f_n(E) = \frac{1}{1 + \exp\left(\frac{E - F}{kT}\right)} \quad (2.1)$$

przy czym:

k — stała Boltzmanna;

T — temperatura bezwzględna;

F — parametr o wymiarze energii, noszący nazwę poziomu Fermiego.

Przebieg funkcji $f_n(E)$ dla temperatury 0°K i wyższej przedstawiono na rys. 2.2. Można również mówić o prawdopodobieństwie nieobsadzenia poziomu przez elektron, które dla pasma walencyjnego będzie oznaczało prawdopodobieństwo obsadzenia stanu przez dziurę. Wyrazi się uno wzorem

$$f_p(E) = 1 - f_n(E) = \frac{1}{1 + \exp\left(\frac{E-E_F}{kT}\right)} \quad (2.2)$$

Iluczyn gęstości stanów $N(E)$ i prawdopodobieństwa ich obsadzenia $f_n(E)$ wyznacza liczbę elektronów dn zajmujących poziomy w przedziale energii dE

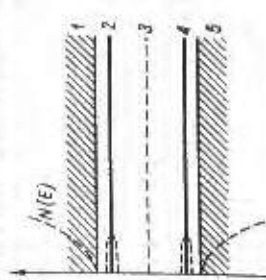
$$dn = f_n(E) N(E) dE \quad (2.3)$$

Całkowita liczba elektronów w pasmie będzie całką z tego wyrażenia zciagnięta na wszystkie poziomy pasma

$$n = \int f_n(E) N(E) dE \quad (2.4)$$

Równanie to umożliwia znalezienie poziomu Fermiego, jeśli jest znana zba elektronów n.

Termodynamiczna równowaga półprzewodnika może być zaburzona zez przyczyn zewnętrznych, np. w wyniku wstrzyknięcia do niego noś-



Rys. 2.1. Poziomy energetyczne w półprzewodniku domieszkowanym donorami i akceptorami: 1 — pasmo przewodniczące; 2 — poziomy donorowe; 3 — poziom Fermiego; 4 — poziomy akceptorowe; 5 — pasmo właściwego.

Sytuacja taka może wystąpić w bezpośrednim sąsiedztwie złącza p-n, do którego przyłożono napięcie w kierunku przewodzenia. Jeśli między tymi wstrzykniętymi nośnikami ustali się równowaga cieplna w czasie krótszym od czasu życia elektronu, to prawdopodobienstwo, że elektron będzie zajmował dany stan w pasmie przewodniczące, może być określone przez wyrażenie podobne do (2.1) z tą różnicą, że parametr F zostanie zastąpiony przez wielkość F_c odpowiadającą poziomu zwanego poziomem quasi-Fermiego

$$f_{nc}(E) = \frac{1}{1 + \exp\left(\frac{E-F_c}{kT}\right)} \quad (2.5)$$

Lokalizacja poziomu F_c na skali energii jest sciele związana z koncentracją elektronów wstrzykniętych do pasma przewodniczącego i może być określona na podstawie zależności

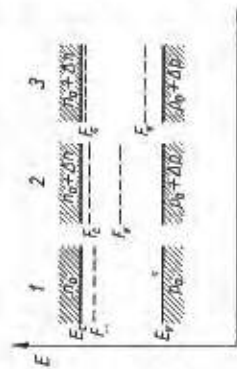
$$F_c = F + kT \ln\left(1 + \frac{\Delta n}{n_0}\right) \quad (2.6)$$

w której:

Δn — liczba wstrzykniętych elektronów do jednostkowej objętości;
 n_0 — koncentracja elektronów w pasmie przewodniczącego w stanie równowagi.

Podobne zaliczności występują dla elektronów w pasmie walencyjnym, ich poziom quasi-Fermiego oznaczony zostanie przez F_v .

W celu wyjaśnienia na rys. 2.3 przedstawiono schematycznie usytuowanie poziomów F_c i F_v w modelu pasmowym półprzewodnika typu n,

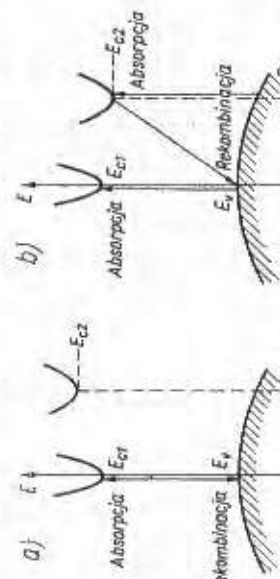


Rys. 2.3. Usytuowanie poziomów quasi-Fermiego dla różnych koncentracji wstrzykniętych nośników: 1 — równowaga; 2 — koncentracja duża; 3 — koncentracja niewielka;

do którego wstrzyknięto nośniki nadmiarowe o koncentracji odpowiednio Δn i Δp . Jest rzeczą intuicyjnie wyczuwalną, że usytuowanie to świadczy o stopniu, w jakim zostały obsadzone przez elektryny poziomy pasma walencyjnego i przewodniczącego, a więc może służyć jako miara inwersji obsadzenia poziomów w tych pasmach.

2.2. Rekombinacja promienista w półprzewodnikach

Proces powrotu układu do stanu stacjonarnego po zaniku czynnika zaburzającego lub czynnika utrzymującego układ w poprzednim stanie nazywa się ogólnie relaksacją. Szczególnym przypadkiem relaksacji jest



Rys. 2.4. Pasma energetyczne w półprzewodniku przedstawione jako funkcja f(p): a) półprzewodnik bezpośredni; b) półprzewodnik pośredni

rekombinacji swobodnych nośników ładunku, elektronów i dziur w półprzewodniku. Sposób oddawania energii, jaką nośnik nabył przy pobu-
jeniu, decyduje o rodzaju rekombinacji i z tego punktu widzenia zja-
isko to można podzielić na dwie zasadnicze grupy: rekombinację pro-
jenista i rekombinację bezpromienistą. Do ostatniej zalicza się rekombi-
nację fonową, zderzeniową, ekscytonową, plazmową i inną.

Różaj rekombinacji zachodzącej w półprzewodniku ściśle wiąże się
z modelem we współczesnych energię-pęd, dla dwóch różnych pół-
przewodników. Zostały one uzyskane w wyniku analizy rozwiazań rów-
nia Schrödingera dla elektronów w polu potencjalu sieci krystalicznej.
Linie górne określają poziomy pasma przewodniczące, dolne — poziomy
żemalnego. Obszar zawarty między nimi odpowiada przerwie
energetycznej. W otoczeniu punktów ekstremalnych, pasma te są opisy-
ane za pomocą funkcji:

$$\left. \begin{aligned} E - E_{c1} &= \frac{P^2}{2m_e} \\ E - E_{c2} &= \frac{(P - P_2)^2}{2m_{e2}} \\ E - E_v &= \frac{P^2}{2m_v} \end{aligned} \right\} \quad (2.7)$$

Przy czym m_e i m_v — odpowiednio masę efektywne elektronów w pas-
mie przewodniczące i dziur w pasmie walencyjnym.

Istotna różnica między modelem z rys. 2.4a a modelem z rys. 2.4b
polega na wartości energii odpowiadającej minimum pasma przewod-
niczącego dla $P = P_2$. W modelu z rys. 2.4a $E_{c1} < E_{c2}$, podczas gdy dla
modelu z rys. 2.4b $E_{c1} > E_{c2}$. Oznacza to, że elektryny, które zgodnie
z statystyką Fermiego-Drača dążą do obsadzania poziomów położo-
nych możliwie nisko, będą wypełniały minimum E_{c1} w przypadku
pierwszym i minimum E_{c2} w przypadku drugim. Przejście między pas-
mem przewodniczącym a pasmem walencyjnym, możliwe w obydwu przy-
kładach, zaznaczono na rys. 2.4 strzałkami. Przejścia te podlegają regu-
li wyboru mechaniki kwantowej. Jedna z nich — zasada Pauliego —
wymaga, aby poziom końcowy, na który mógłby spaść elektron, był nie-
zależny od przejęcia rekombinacji poziomów walencyjnych oddalonego od punktu $P = 0$. Druga reguła dotyczy przejęcia promieni-
stych i wymaga spełnienia warunku

$$P_v - P_v = \Delta P = 0 \quad (2.8)$$

czyli P_v i P_v — pęd elektronu odpowiednio w pasmie przewodnic-
zącym i pasmie walencyjnym.

Oznacza to, że ewentualne przejęcie promieniste w półprzewodniku
rys. 2.4b powinno być połączone z jednoczesną zmianą pędu wywołaną

emisją lub absorpcją fononu. Przejścia takie nazywają się pośrednim.
a półprzewodnik, w którym występują — półprzewodnikiem pośrednim.
Do półprzewodników takich należy np. german i krzem. W odróżnieniu
od przejęć pośrednich, przejęcia z rys. 2.4a są nazywane bezpośrednimi,
a towarzyszące im zjawisko emisji fotonów nosi nazwę elektrolumines-
cencji. Przejścia te zachodzą w półprzewodnikach zwanych bezpośred-
nimi, do których należy większość związków międzymetalicznych typu
Au—Bv jak arsenek galu, arsenek indu, antymonek indu i inne. Można
łatwo wywnioskować, że przejęcia pośrednie będą znacznie mniej
prawdopodobne od bezpośrednich, a zatem czas życia nośnika, który test
wielkością proporcjonalną do prawdopodobieństwa przejęcia, powinien
być zawsze większy w półprzewodniku pośrednim niż bezpośredniem.
Wniosek ten znajduje potwierdzenie w praktyce, jednak obserwowane
różnice wartości czasów życia są znacznie mniejsze, niż wynikaloby to
z obliczeń teoretycznych. W celu wyjaśnienia tej rozbieżności Shockley
i Read [2.1] przyjęli, że w półprzewodnikach istnieją pewne defekty
siecii lub domieszki, nazywane centrami rekombinacji, którym odpowia-
dają poziomy zlokalizowane w pasmie zabronionym. Centra te katali-
zują proces rekombinacji dzięki temu, że może ona zachodzić w dwóch
etapach z wykorzystaniem (po drodze) poziomu związanego z centrum.
Rekombinacja taka może być w pewnych przypadkach promienista, zda-
ra się to jednak bardzo rzadko.

Należy zwrócić uwagę, że omówione modele energetyczne oraz zjawisko rekombinacji dotyczą półprzewodników zawierających małą
ilość domieszek. W przypadku gdy ilość ta jest znaczna, np. powyżej
 10^{18} atom/cm³, zniekształcenia pasm, o których wspomniano już w p. 2.1,
moga prowadzić do zatarcia różnic między minimum E_{c1} i E_{c2} , w wyniku czego półprzewodnik pośredni może nawet stać się bezpośredniem.
Mechanizm rekombinacji zachodzącej w takich półprzewodnikach będzie
niewątpliwie odbiegał od wyżej opisanego.

Emisję promieniowania związanego ze zjawiskiem rekombinacji towarzyszy oczywiście absorpcja, której na rys. 2.4 zaznaczono strzałkami skierowanymi ku górze. Proporcje między tymi procesami można ocenić na podstawie znajomości położenia poziomów quasi-Fermiego. W tym celu, nizzej przytoczono rozumowanie prowadzące do określenia warunku, od którego spełnienia zależy możliwość uzyskania wzmacnienia promie-
niowania w półprzewodniku bezpośredniem [2.2].

Kwant promieniowania może być zaabsorbowany tylko wówczas, gdy
w pasmie walencyjnym jest do dyspozycji elektron, który może go za-
absorbować oraz jednocześnie w pasmie przewodniczącym jest niezbędnego
poziom, na który ten elektron może się przenieść. Prawdopodobieństwo takiego zdarzenia jest proporcjonalne do iloczynu

$$f_{nv}(1 - f_{nc}) \quad (2.9)$$

zy czym $f_{n\sigma}$ i $f_{n\bar{\sigma}}$ — funkcje Fermiego dla elektronów w pasmach walencyjnym i przewodnicztwa.

Emisja kwantu promieniowania może wystąpić tylko wówczas, gdy pasmie przewodnicztwa znajduje się elektron, a w pasmie walencyjnym dąura. Prawdopodobieństwo takiej sytuacji jest proporcjonalne do czynu

$$f_{n\sigma}(1-f_{n\bar{\sigma}}) \quad (2.10)$$

Tak więc liczba kwantów τ_{em} o energii $h\nu$, absorbowanych na jednostkę czasu, będzie równa

$$\tau_{\text{em}} = AP_{\text{cv}}f_{n\sigma}(1-f_{n\bar{\sigma}})\varrho(\nu) \quad (2.11)$$

czyli czym:

$P_{\text{cv}} = P_{\text{cv}}$ — prawdopodobieństwo wystąpienia przejścia w jednostce czasu, między stanem w pasmach przewodnicztwa i walencyjnym oraz przeciwnie, jeśli różnica energii między stanami wynosi $h\nu$;

A — pewna stała zawierająca gestość stanów w pasmach przewodnicztwa i walencyjnym;

$\varrho(\nu)$ — Gestość fotonów o energii $h\nu$.

Emisja wymuszona przewyższy absorpcję, jeśli będzie spełniona nierówność

$$\tau_{\text{em}} > r_{90} \quad (2.13)$$

Podstawiając do tej nierówności funkcje Fermiego (2.5) i analogiczną dla funkcji $f_{n\sigma}$, otrzymujemy się

$$F_0 - F_\sigma > h\nu = E_n - E_{n\bar{\sigma}} \quad (2.14)$$

W czym E_n , $E_{n\bar{\sigma}}$ — energia poziomów biorących udział w przejściach. Fizyczne uzasadnienie tego kryterium wynika z rys. 2.5, na którym przedstawiono uproszczony model pasmowy z zaznaczonym poziomem pozytyjnym przez elektryny i dżury. Przejścia promieniste występują wówczas, gdy elektryny z zajętych stanów w pasmie przewodnicztwa spały na niezajęte stany w pasmie walencyjnym. Kwant o energii mniejszej od energii odpowiadającej odległości między poziomami quasi-Fermiego może zatem wymusić emisję innego identycznego kwantu przez elektronu w dół. Nie może on być natomiast zaabsorbowany, gdyż dla jego energii poziomy w pasmie walencyjnym są nieobsadzone, w pasmie przewodnicztwa są natomiast zajęte. Dokładnie przeciwnie przedstawia się sytuacja dla kwantów o energii większej od energii odległej od poziomów quasi-Fermiego. Prawdopodobieństwo wystąpienia emisji wymuszonej jest zatem różne od zero

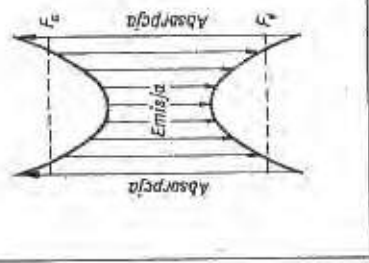
jedynie w przedziale energii $(F_0 - F_\sigma) \div E_\sigma$, przy czym zboce ilustrującego krzywej między E_σ a maksimum odzwierciedla rozkład gestości stanów w pasmach przewodnicztwa i walencyjnym.

Określenie położenia poziomów quasi-Fermiego w wybranym punkcie poloprzewodnika jest w praktyce zwykle bardzo trudne ze względu na nieznaną lokalną koncentrację wstrzymkowych nośników oraz znaczącą kształcenia pasma występujące przy silnym domieszkowaniu. Wyrażenie (2.14) może być jednak wykorzystane do orientacyjnej oceny koncentracji domieszki w materiale wyjściowym, niezbędnej do uzyskania akcji laserowej.

2.3. Elektroluminescencja w złączach p-n

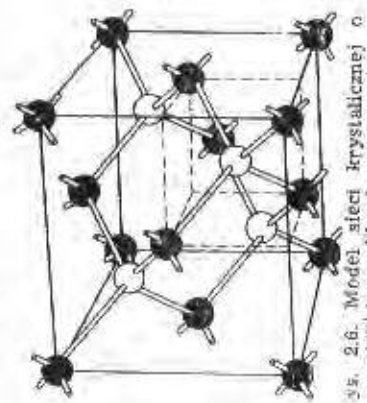
Jednym ze sposobów wywołania zjawiska elektroluminescencji w określonym obszarze poloprzewodnika jest wstrzyknięcie do tego obszaru nośników mniejszościowych za pomocą odpowiednio usuniwanego złącza p-n. Zjawisko to zostanie omówione na przykładzie złącza wykonanego z arsenkiem galu. Wybór tego materiału jest powiązany z jednej strony stosunkowo dokładnym poznaniem zjawiska elektroluminescencji w złączach p-n wytwarzonych z arsenkiem galu, z drugiej zaś stoną tym, że arsenek galu jest dotychczas najpowszechniej stosowanym materiałem do wytwarzania laserów złączowych.

2.3.1. Fizyczne właściwości arsenku galu. Arsenek galu jest związkiem międzymetalicznym wytworzonym przez syntezę odpowiednich ilości arsenu i galu. Jego kryształy mają sieć krystaliczną o strukturze blendy cynkowej, której model przedstawiono na rys. 2.6. Jedną z cech charakterystycznych sieci o takiej strukturze, w odróżnieniu od sieci typu diamentu (także germanu i krzemu), jest brak elementu symetrii zwanej płaszczyzną inwersji i związana z tym różnicą między budową a właściwymi kryształu w kierunku [111] oraz w kierunku [111]. Różnica ta występuje również w budowie płaszczyzn (111) oraz (111), co zostało uwidocznione na schematycznym przekroju sieci arsenku galu, wykonanym w płaszczyźnie prostopadłej do płaszczyzny (111) i równoległej do płaszczyzny (110) (rys. 2.7). Powierzchnia ograniczająca kryształ od strony płaszczyzny (111) składa się z atomów galu, podczas gdy powierzchnia do niej przeciwległa, będąca płaszczyzną (111), jest

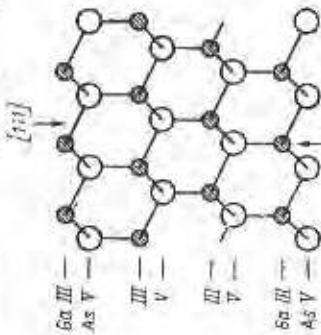


Rys. 2.5. Uproszczony model pasmowy poloprzewodnika. Liniami przerywanymi zaznaczono obszar przejściowy zalety przez elektryny i dżury

zbudowana z atomów arsenu. Ponieważ każdy z atomów tworzących te powierzchnie jest związany z atomami sąsiednimi za pomocą trzech wiązań, zatem wszystkie trzy elektryny walencyjne atomów galu są wykorzystane do kątowej wiązania, w przypadku arsenu natomiast dwa spośród jego pięciu elektronów walencyjnych pozostają bez przydziela. Konsekwencją tego są znaczne różnice we właściwościach płaszczyzn (111).



Rys. 2.6. Model sieci krystalicznej o strukturze blende cynkowej



Rys. 2.7. Przekrój modelu sieci arsenku galu, wykonany w płaszczyźnie równoległej do płaszczyzny (110) i prostopadłej do płaszczyzny (111)

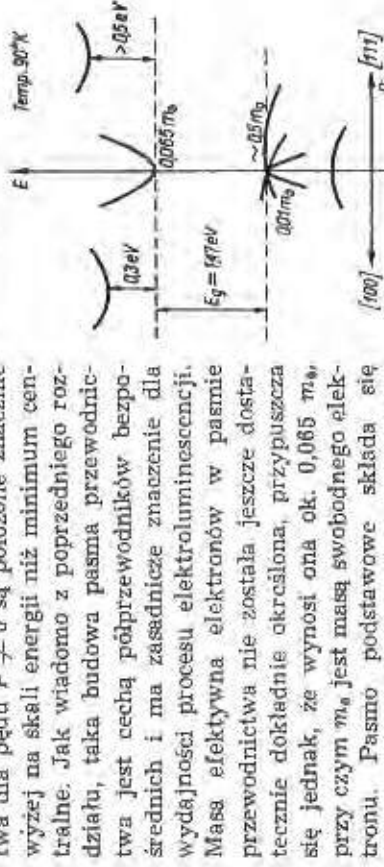
(111). Najważniejsze z nich to szybsze trawienie płaszczyzny (111) miedzianinach trawiących, łatwiejsze jej rozpuszczanie w ciekłych medium oraz szybszy wzrost kryształu w kierunku [111]. Różnice te umożliwiają łatwe zidentyfikowanie płaszczyzny (111) i (111). Najczęściej stosowanym w praktyce sposobem jest chemiczne trawienie uprzednio zorientowanego kryształu w odpowiednio dobranym mieszaninie (np. 75 ml HNO_3 , 15 ml HF, 15 ml CH_3COOH , 0,6 ml Br). W wyniku tego procesu w płaszczyźnie (111) powstaje wyraźne jemy trawienia w miejscu, w którym jest ona przecinana przez dyslokacje. Jednoceśnie płaszczyzna (111) trawi się szybko i równomiernie, dzięki czemu pozostałe gładka blyszcząca.

Opisana asymetria w budowie płaszczyzn (111) i (111) arsenku galu jest zasadnicze znaczenie dla jego właściwości mechanicznych. W szczególności jest ona przyczyną łatwej ląpliwości kryształów GaAs w płaszczyznach równoległych do płaszczyzny (110) i znacznie utrudnionej ląpliwości w płaszczyźnie (111). Właściwość tę można wyjaśnić kiorac pod wagę rozkładu elektrostatycznych sił w krysztale, wynikający z całkowatego zjonizowania atomów galu i arsenu. Mianowicie ładunki jonów lu i arsenu mają znak przeciwny, kiedy z płaszczyzn (111) jest więcej zwierana z przylegającą do niej płaszczyzną (111). Razda z płaszczyzn (110) składa się natomiast z takiej samej liczby atomów arsenu, kielu, wypadkowa siła wiążąca te płaszczyzny jest więc równa zero,

a co za tym idzie można je łatwo od siebie oddzielić. Właściwość ta jest niewykleenna z punktu widzenia technologii laserów złączowych, umożliwia bowiem stosunkowo proste wykonywanie rezonatorów typu Fabry-Perot (rozdz. 3).

Uproszczony model pasmowy arsenku galu przedstawiono na rys. 2.8. Jest rzeczą szczerą istotną, że obydwa minima pasma przewodniczące dla pędu $P \neq 0$ są położone znacznie wyżej na skali energii niż minimum centralne. Jak wiadomo z poprzedniego rozdziału, taka budowa pasma przewodnicząca jest cechą półprzewodników bezpośrednich i ma zasadnicze znaczenie dla wydajności procesu elektroluminescencji. Masa efektywna elektronów w pasmie przewodnicząca nie została jeszcze dostatecznie dokładnie określona, przypuszcza się jednak, że wynosi ona ok. 0,065 m₀, przy czym m₀ jest masą swobodnego elektronu. Pasmo podstutowe składa się z dwóch pasm dziur ciekłich, pasma dziur lekkich oraz pasma związanego z oddziaływaniami spinu z orbitą elektronu. Z powodu braku płaszczyzny inwersji w krysztalach arsenku galu, wierzchołki pasm dziur ciekłych są względem siebie nieco rozsunięte. Masa efektywna dziur jest w przybliżeniu równa 0,5 m₀.

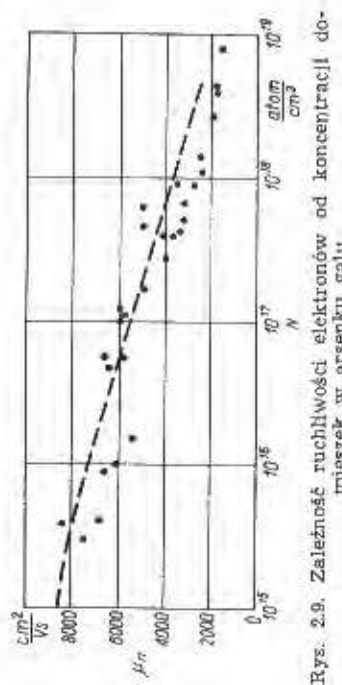
Domieszkami donorowymi dla arsenku galu są niektóre pierwiastki grupy VI. Do najbardziej efektywnych należą selen oraz nieco mniej od niego rozpuszczalny tellur. Pierwiastki te w sieci arsenku galu zajmują pozycje arsenu. Pod względem energetycznym tworzą one pasmo domieszkowe, które dla koncentracji domieszki w krysztale większej od $5 \cdot 10^{17}$ atom/cm³ zlewają się z pasmem przewodniczącym. Rolę akceptorów w arsenku galu odgrywają pierwiastki grupy II, które wchodzą do jego sieci na miejsce atomów galu. Do najefektywniejszych akceptorów należą cynk i kadm. W praktyce częściej stosowany jest cynk ze względu na jego dużą rozpuszczalność graniczną (można otrzymać koncentrację ok. 10^{20} atom/cm³) oraz dużą wartość współczynnika dyfuzji. Poziom akceptorowy cynku występuje przy energii o ok. 0,08 eV większej od energii odpowiadającej wierzchołkowi pasma podstawnego. Energia ionizacji tej domieszki szybko maleje w miarę wzrostu jej koncentracji w półprzewodniku. Pierwiastki grupy IV: Si, Ge, Sn, Pb są zwykle dominanami, w niektórych przypadkach mogą jednak wchodzić do sieci arsenku galu również jako neutralne atomy. Zachodzi to wówczas, gdy dwa takie atomy następują sąsiadujące ze sobą atomy galu i arsenu. Niektóre



Rys. 2.8. Uproszczony model pasmowy arsenku galu. Wartość modelu pasmowego arsenku galu. Wartość proporcjonalna kropkom odpowiadają masie efektywnej elektronów i dziur

domieszek, np. tlen, kobalt lub nikiel, tworzą tzw. głębokie poziomy ukierpiorowe położone w pobliżu środka pasma zabronionego. W przypadku gdy jednocośnie liczba donorów w półprzewodniku jest bardzo nala (np. rzędu 10^{16} atom/cm 3), może nastąpić kompensacja donorów przez akceptory, w wyniku czego rezystywność materiału wzrasta do wartości megaomów. Arsenek galu o tak dużej rezystywności jest nazywany często półizolującym.

Ruchliwość elektronów w arsenku galu jest znacznie większa od ruchliwości elektronów w germaniu i dochodzi do $8500 \text{ cm}^2/\text{Vs}$ dla harnizo czystych kryształów. Ze wzrostem koncentracji donorów maleje ona według krzywej przedstawionej na rys. 2.9. Ruchliwość dziur jest znacz-

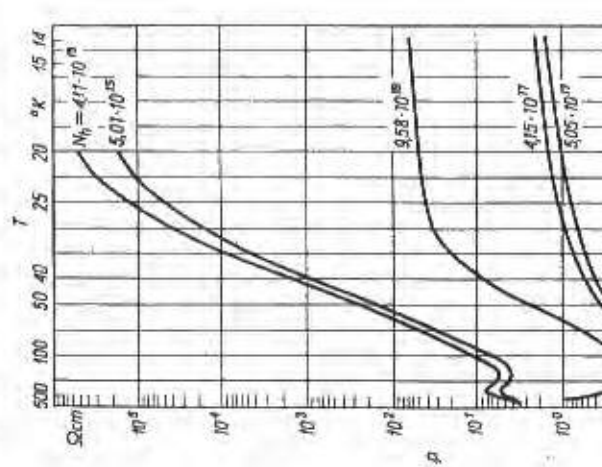


Rys. 2.9. Zależność ruchliwości elektronów od koncentracji domieszka w arsenku galu.

ie mniejsza od ruchliwości elektronów i wynosi ok. $400 \text{ cm}^2/\text{Vs}$ dla żardzo czystych próbek oraz odpowiednio mniejszej dla materiału domieszowanego. Zarówno ruchliwość elektronów jak i dziur w dużym stopniu zależy od temperatury. Dla ilustracji na rys. 2.11 pokazano taka zależność dla dziur w materiałach zawierających różne ilości tych nośników. Zmiany ruchliwości połączone ze zmianą stopnia jonizacji domieszka w zależności od temperatury powodują za sobą oczywiście zmianę rezystywności. Wykres takiej zależności dla materiału typu p domieszkowego cynkiem pokazano na rys. 2.10.

Ważniejsze własności opptyczne i fotoelektryczne arsenku galu będą omawiane przy okazji rozmów zawartych w dalszych rozdziałach. W tym miejscu warto dla porządku wspomnieć, że wspólnyznik zanania arsenku galu jest stosunkowo duży i wynosi 3,6, co na granicy powietrza daje współczynnik odbicia $R = 0,32$ i kat graniczny ok. 16° . Właściwość ta ma istotne znaczenie dla techniki wykorzystywania rezonatorów (rozdz. 3). Współczynnik absorpcji arsenku galu w dużym stopniu zależy od długości fali, temperatury i koncentracji zawartych w nim domieszek. Liczbowe wartości tego współczynnika podano na rys. 2.13.

Przewodność cieplna arsenku galu w temperaturze pokojowej jest stosunkowo mała i wynosi ok. $0,7 \text{ W/cm}^2\text{K}^2$. Również i ten parametr w dużym stopniu zależy od temperatury i koncentracji domieszek (np. rzędu 10^{16} atom/cm 3), może nastąpić kompensacja donorów przez akceptory, w wyniku czego rezystywność materiału wzrasta do wartości megaomów. Arsenek galu o tak dużej rezystywności jest nazywany często półizolującym.



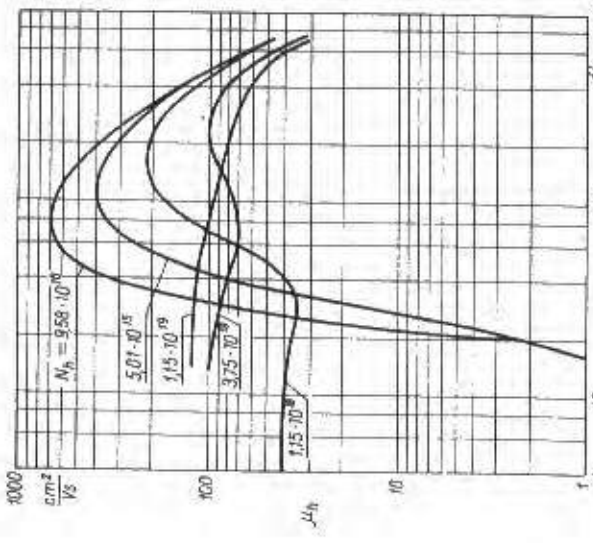
Rys. 2.10. Zmiana rezystywności arsenku galu typu p w zależności od temperatury dla materiałów o różnych koncentracjach dzier N_d .

(rys. 4.7). Mała przewodność cieplna arsenku galu w zakresie temperatury pokojowej i wyższej od niej stwarza dodatkowe trudności przy wykonywaniu przyrządów z tego materiału.

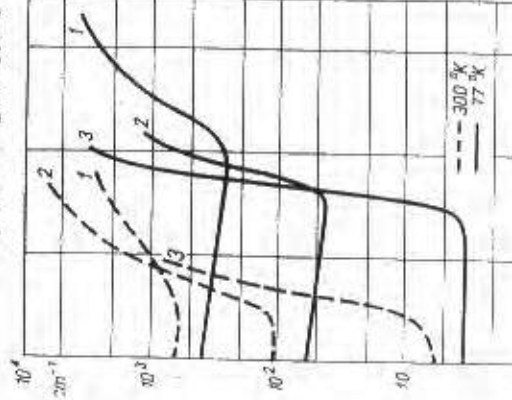
2.3.2. Model pasmowy złącza p-n. Układ pasm energetycznych w złączu p-n bez polaryzacji i po przyłożeniu do niego napięcia w kierunku przewodzenia pokazano na rys. 2.14. Przedstawiony model obrazuje przypadek złącza utworzonego w półprzewodniku zdegenerowanym, gdyż takie właściwość półprzewodników są z reguły wykorzystywane w technice laserowej z uwagi na konieczność spełnienia warunku (2.14). Jak łatwo zauważyć, przyłożenie odpowiednio dużego napięcia stwarza sytuację, w której elektryny z pasma przewodnicztwa po stronie n znajdują-

się niejako nad dziurami zajmującymi poziomy pasma walencyjnego p o stronie p złącza. Można też zmieniając odpowiednio położenie poziomów quasi-Fermiego stworzyć sytuację, w której dziury ze strony p będą „przelewały się” na stronę n. Z uwagi na znacznie silniejsze domieszkowanie stronny p sytuacja ta wydaje się nawet bardziej prawdopodobna. W rzeczywistości argument większej koncentracji może być prawdopodobnie podważony przez znacznie większe uprzywilejowanie wstrzykiwania elektronów do obszaru p niż dzur do obszaru n. Uprzywilejowanie to wynika z większej ruchliwości elektronów i ich mniejszej masy efektywnej, z czym wiąże się głębsze wnikanie poziomu Fermiego w głęb pasma, oraz z krótszego czasu życia elektronów po stronie p z uwagi na większą koncentrację nośników większościowych po tej stronie złącza [2.3].

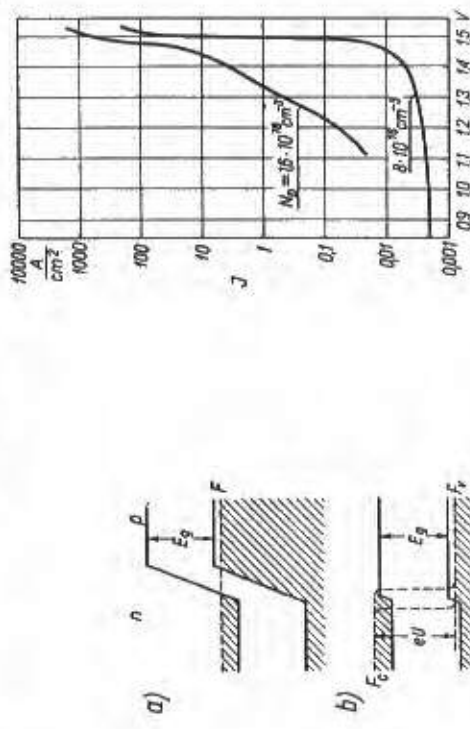
W sytuacji przedstawionej na rys. 2.14b przez złącze płynie oczywiście prąd elektryczny, którego charakterystykę pokazano na rys. 2.15. Należy zwrócić uwagę, że szczególnie szybki wzrost prądu w miarę



Rys. 2.11. Zależność ruchliwości dzurów typu p o różnej koncentracji dzurów arsenku galu od temperatury.



Rys. 2.12. Współczynnik absorpcji arsenku galu domieszkowanego cynamidem dla różnych koncentracji akceptorów:
1 — $N_A = 7 \cdot 10^{19}$ cm $^{-3}$; 2 — $N_A = 1.6 \cdot 10^{20}$ cm $^{-3}$; 3 — $N_A = 1.6 \cdot 10^{20}$ cm $^{-3}$ [2.15].

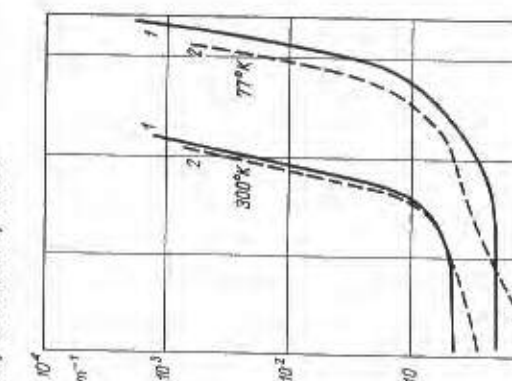


Rys. 2.14. Wykres prądu w złączu p-n dla różnych koncentracji nośników.

Rys. 2.15. Charakterystyka prądowo-napieciowa diod wykonyanych z arsenku galu o różnej koncentracji doborów, dla temperatury $T = 4.2^\circ\text{K}$ [2.3].

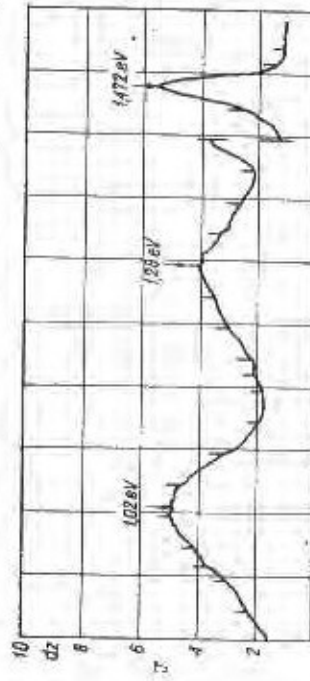
wzrostu napięcia występuje w pobliżu pasa zabronionego. Wzrost prądu w tym zakresie odpowiada jasnej szerokości pasa zabronionego.

2.3.3. Rekombinacja. Jednoczesna obecność dziur i elektronów w tym samym obszarze półprzewodnika oznacza, jak wiadomo z p. 2.2, możliwość ich rekombinacji. Typowe widmo promieniowania rekombinacyjnego emitowanego przez diode zasilaną niewielkim prądem (10 A/cm 2) w temperaturze 77 K przedstawiono na rys. 2.16. Dioda ta została wy-



Rys. 2.13. Wąskotyczniak absorpcji arsenku galu domieszkowanego cynamidem dla różnych koncentracji donorów:
1 — $N_D = 9.6 \cdot 10^{19}$ cm $^{-3}$; 2 — $N_D = 3.0 \cdot 10^{20}$ cm $^{-3}$ [2.15].

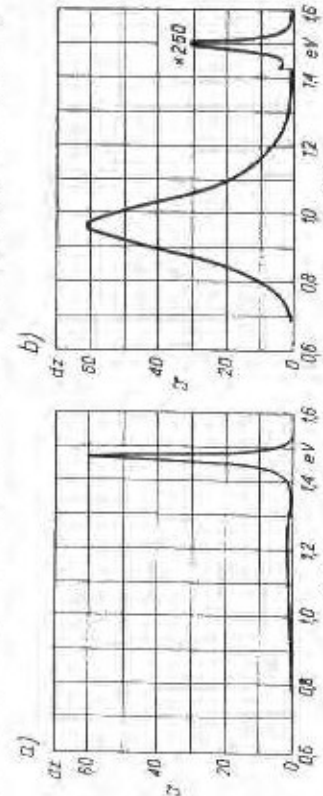
konana za pomocą dyfuzji cynku do arsenuku galu domieszkowanego tellurem. W widmie jej promieniowania występują trzy linie emisjne odpowiadające energiom 1,02, 1,28 i 1,47 eV. Szczegółowe badania wy-



Rys. 2.16. Widmo elektroluminescencji diod GaAs dla temperatury $T_0 = 77\text{ K}$. W prawej części rysunku skala pionowa zmniejszona 25 razy [2.5].

Kazalny jednak, że kształt widma w rodzinie tego, które przedstawiono na rys. 2.16, zależy scisłe od własności kryształu wyjściowego oraz przebiegu procesu dyfuzji cynku. Szczególnie dużym zmianom podlega częstotliwość emisji, z której wynika, że linia 1,28 eV nie występuje w ogóle.

Charakterystykę widmową z rys. 2.16 można zinterpretować na podstawie wyników badań nad zjawiskiem fluorescencji. Badania te polegają między innymi na wywołaniu fluorescencji poloprzewodnika przez



Rys. 2.17. Widmo fluorescencji próbki GaAs domieszkowanej cynkiem i tellurem dla temperatury $T_0 = 77\text{ K}$: a) GaAs typu p (cynk), $N_A = 1,8 \cdot 10^{18} \text{ cm}^{-3}$; b) GaAs typu n (tellur), $N_A = 5,5 \cdot 10^{17} \text{ cm}^{-3}$ (W prawej części rysunku, skala pionowa zmniejszona 250 razy) [2.11].

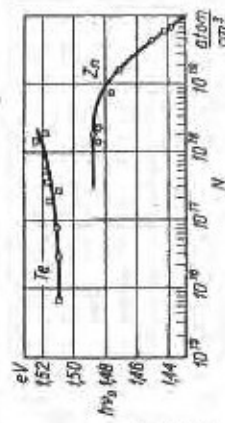
Oświetlenie go światłem o energii większej niż energia pasma zabronionego, a następnie obserwacji emitowanego z powierzchni poloprzewodnika światła i porównań jego widma za pomocą monochromatora.

Na rys. 2.17 przedstawiono widma fluorescencyjne otrzymane w temperaturze 77°K dla próbki typu n domieszkowanych tellurem i typu p domieszkowany cynkiem. Pierwiastki te wprowadzają, jak wiadomo, plytki centra odpowiednio donorowe i akceptorowe.

Emisja z obrazu typu p jest skoncentrowana w waższej charakterystyczce widmowej (0,02 eV) odpowiadającej energii 1,485 eV — nieco mniejszej od szerokości pasma zabronionego czystego arsenuku galu. Wyścigają ona również przy energii 1,25 eV, jest jednak bardzo mała. Przeważnie, emisja materiału typu n jest skupiona niemal całkowicie w obszarze malej energii (ok. 0,98 eV) i jedynie bardzo nisko promieniowanie jest obserwowane w pobliżu krawędzi absorpcji (1,51 eV). Ponadto kształt widma emisji materiału typu n jest, w przeciwieństwie do widma dla materiału typu p , niepowtarzalny i zmienia się od kryształu do kryształu.

Porównanie widmowej charakterystyki diody z krzywymi z rys. 2.17 wskazuje na jej znaczne podobieństwo do widmowej charakterystyki fluorescencji materiału typu p . Podobieństwo to sugeruje, że obydwie emisje są wynikiem promienistych przejść tego samego rodzaju, co znajduje zresztą potwierdzenie, jak zobaczymy niżej, w wielu innych faktach doświadczalnych. Kształt charakterystyki emisji diody w zakresie malej energii jest natomiast zwykle bardzo zbliżony do kształtu charakterystyki fluorescencyjnej materiału n , z którego dioda ta została zrobiona. Powyższa obserwacja w połączeniu z faktem, że emisja o malej energii nie występuje w widmie fluorescencyjnym próbki typu p , umożliwia przypuszczenie, że emisja o malej energii jest spowodowana rekombinacją zachodzącą w obszarze typu n . Hipoteza ta jest potwierdzona przez wyniki doświadczalne z bardzo czystym GaAs typu n . Zarówno sam materiał jak i wykonane z niego diody nie wykazują nianowicze emisji o malej energii.

2.3.4. Zależność widmowej charakterystyki elektroluminescencji od koncentracji domieszek. Z punktu widzenia diod laserowych interesująca jest jedynie fluorescencja występująca w pobliżu krawędzi absorpcji. Polożenie wierzchołka charakterystyki tej emisji jest funkcją koncentracji domieszek.



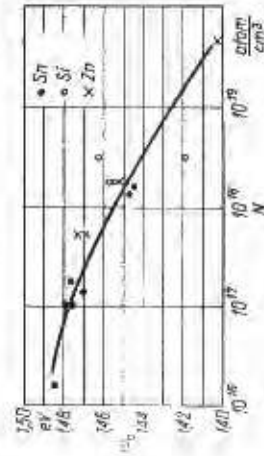
Rys. 2.18. Położenie wierzchołka linii fluorescencyjnej arsenuku galu domieszkowanego tellurem i cynkiem jako funkcji koncentracji tych domieszek dla temperatury $T_0 = 77\text{ K}$ [2.11].

traci domieszek w materiale i zmienia się tak, jak przedstawiono to na rys. 2.18, na którym pokazano krzywe znalezione dla arsenku galu

typu n domieszkowanego tellurem i typu p domieszkowanego cynkiem. Wierzchołek charakterystyki fluorescencyjnej materiału typu n zawierającego małe ilości domieszki występuje przy wartościach energii odpowiadających w przybliżeniu szerokości pasma zabronionego. Jej przeuniecie w kierunku większych energii przy wzroście koncentracji domieszki jest prawdopodobnie spowodowane wypełnieniem pasma przewodniczącego przez elektryny zgodnie z modelem opisanym w p. 2.3.6.

Fluorescencja GaAs domieszkowanego cynkiem rozpoczyna się przy energii równej ok. 1,485 eV i ze wzrostem koncentracji przesuwa się w kierunku mniejszych energii. Zjawisko to można interpretować jako rezultat zmniejszenia się szerokości pasma zabronionego E_g . Warto zwrócić uwagę na fakt, że fluorescencja cynku nawet w mało domieszkowanych próbkach występuje przy energiach znacznie mniejszych od szerokości pasma zabronionego dla czystego materiału. Fakt ten sugeruje, że przesyłce w próbkach typu p kończy się zawsze na poziomach akceptorowych, które przy większych koncentracjach cynku są połączone z pasmem walencyjnym.

Położenie wierzchołka charakterystyki elektroluminescencyjnej dla diod wykonanych za pomocą dyfuzji cynku w materiałach typu n o różnej koncentracji donorów oraz diod wykonanych techniką stopową przez wlepianie cynku do GaAs domieszkowanego cynkiem, przedstawiono na rys. 2.19. Zaktualizując, że koncentracje domieszki N_D i N_A w złączu były



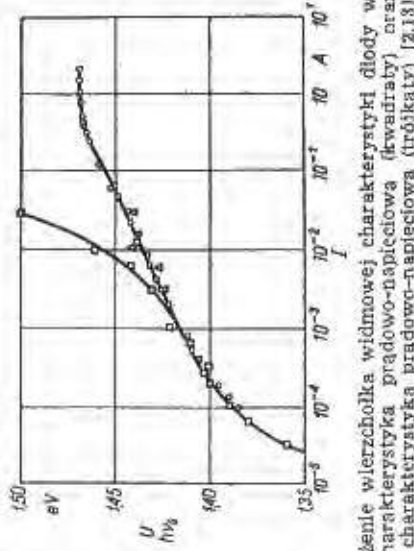
Rys. 2.19. Położenie wierzchołka widmowej charakterystyki diod GaAs jako funkcja koncentracji domieszki w materiale wyjściowym dla temperatury $T_0 = 77$ K i gęstości prądu $J = 50$ A/cm² [2.12].

dwonne, co niekoniecznie musi zachodzić z uwagi na złożoną naturę mechanizmu dyfuzji cynku (rozdz. 3), krzywą tę można traktować jako lustrakcję związku między koncentracją domieszki a energią emitowanymi fotonom. Porównując ją z krzywymi z rys. 2.18 można łatwo zauważyć wyraźne podobieństwo jej kształtu do kształtu krzywej przedstawiającej charakterystykę fluorescencji materiału typu p . Podobieństwo jest zrozumiałe w świetle przedstawionej wyżej hipotezy o pochodzeniu emisji diody z obszaru p złącza. Stanowi ono jeden z ważniejszych dowodów, że rekomplinacja w diodach obejmuje poziomy akceptorowe. Wezniejsze zaginanie się ku dolowi krzywej z rys. 2.19 jest związane z rekombinacją w diodach obejmującą akceptory. Wydajność zjawiska fluorescencyjnego ze zmniejszaniem się szerokości pasma zabronionego wywołanym obecnością donorów. Przypuszczenie to potwierdzają wyniki

otrzymane dla diod wykonanych techniką stopową z materiału typu p , które zaznaczono na rys. 2.19 krzywymi.

2.3.5. Zależność widmowej charakterystyki elektroluminescencji od gęstości prądu. Podobnie jak to występuowało w przypadku koncentracji domieszek, również i napięcie prądu płynącego przez diode ma znaczny wpływ na wartość energii odpowiadającej wierzchołkowi charakterystyki elektroluminescencyjnej.

Typową zmianę położenia wierzchołka emisywnej charakterystyki diody, w zależności od płynącego przez nią prądu wykreszono dla przykładu na rys. 2.20. W środkowym zakresie prądów, w tym przypadku między $2 \cdot 10^{-4}$ A a $4 \cdot 10^{-1}$ A, położenie wierzchołka zmienia się pod wpływem zmian prądu wg zależności typu $I = I_0 \exp\left(\frac{h\nu}{\phi}\right)$. Przy czym I_0 i ϕ są pewnymi stałymi współczynnikami. Na krzywą te dla porównania naniejeno charakterystykę pradowo-napięciową diody. Jesli uwzględni się spadek napięcia na szeregowej rezystancji diody, równej ok. 2Ω , otrzymuje się niemal idealną zbieżność wyników. Oznacza to, że energia,

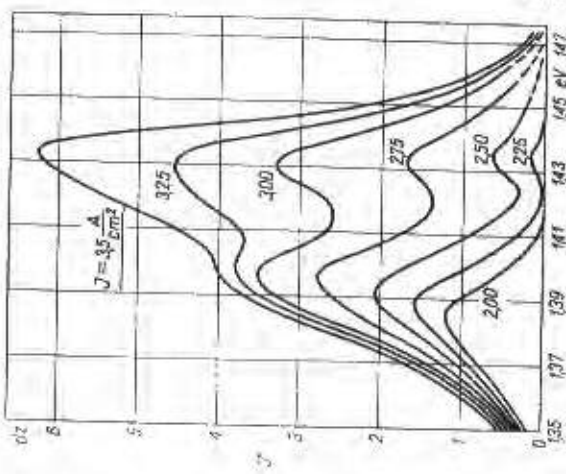


Rys. 2.20. Położenie wierzchołka widmowej charakterystyki diody w funkcji prądu (krzywka), jej charakterystyka pradowo-napięciowa (kwadratki) oraz skorygowana charakterystyka pradowo-napięciowa (trójkąty) [2.18].

przy której występuje maksimum emisji, odpowiada napięciu przyłożzonemu do złącza. Przedstawioną korelację między U i $h\nu$ otrzymuje się zawsze dla diod wykonanych z materiału o koncentracji donorów $N_D > 3 \cdot 10^{17}$ atom/cm³. Uzyskiwane wyniki są niezależne od temperatury, jeśli wprowadzi się poprawkę w skali napięcia uwzględniającą szerokości pasma zabronionego. W diodach, w których koncentracja $N_D < 10^{17}$ atom/cm³, obserwowane przesunięcie maksimum widma jest małe. Mało się również zmienia napięcie na diodzie, jak można to stwierdzić na podstawie charakterystyki z rys. 2.15.

Dokładniejsze badania nad kształtem charakterystyki fluorescencyjnej przy różnych prądach wykazały, że zależność $h\nu = f(I)$ w rodzinie przedstawionej na rys. 2.20 kryje w sobie wiele interesujących zjawisk.

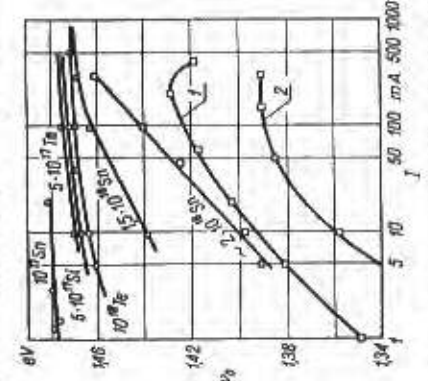
Miedzy innymi stwierdzono występowanie dwóch wierzchołków charakterystyki, których wzgledna wysokość jest funkcją gęstości prądu [2.4]. W zakresie bardzo małych gęstości prądu, 1 do 200 mA/cm² charakterystyka ma jeden wierzchołek, który w miarę wzrostu prądu szybko przesuwa się w kierunku większych energii. W okolicy gęstości prądu 200 mA/cm², w zakresie nieco większych energii pojawia się drugi wierzchołek. W odróżnieniu od pierwszego wierzchołek ten w miarę wzrostu siuwa się w kierunku większych energii. W okolicy prądu o gęstości 200 mA/cm², w zakresie nieco większych energii pojawia się drugi wierzchołek. W odróżnieniu od pierwszego wierzchołek ten w miarę wzrostu siuwa się w kierunku większych energii. W okolicy prądu o gęstości 200 mA/cm², w zakresie nieco większych energii pojawia się drugi wierzchołek. W odróżnieniu od pierwszego wierzchołek ten w miarę wzrostu siuwa się w kierunku większych energii. W okolicy prądu o gęstości 200 mA/cm², w zakresie nieco większych energii pojawia się drugi wierzchołek. W odróżnieniu od pierwszego wierzchołek ten w miarę wzrostu siuwa się w kierunku większych energii.



Rys. 2.21. Zmiana kształtu charak-

terystyki widmowej wywołana wzrostem prądu dla temperatury $T_0 = 4,2 \text{ K}$ [2.4]

wzrostu siuwa się w kierunku większych energii. W okolicy prądu o gęstości 200 mA/cm², w zakresie nieco większych energii pojawia się drugi wierzchołek. W odróżnieniu od pierwszego wierzchołek ten w miarę wzrostu siuwa się w kierunku większych energii. W okolicy prądu o gęstości 200 mA/cm², w zakresie nieco większych energii pojawia się drugi wierzchołek. W odróżnieniu od pierwszego wierzchołek ten w miarę wzrostu siuwa się w kierunku większych energii. W okolicy prądu o gęstości 200 mA/cm², w zakresie nieco większych energii pojawia się drugi wierzchołek. W odróżnieniu od pierwszego wierzchołek ten w miarę wzrostu siuwa się w kierunku większych energii. W okolicy prądu o gęstości 200 mA/cm², w zakresie nieco większych energii pojawia się drugi wierzchołek. W odróżnieniu od pierwszego wierzchołek ten w miarę wzrostu siuwa się w kierunku większych energii.



Rys. 2.22. Widmo elektroluminescencji diody GaAs przy różnych prądach zasilających dla temperatury $T_0 = 20 \text{ K}$. Dioda wykonana z materiału domieszkowanego z koncentracją $3 \cdot 10^{14} \text{ atom/cm}^3$. Powierzchnia diody $9 \cdot 10^{-4} \text{ cm}^2$ [2.13]

prądu przesuwa się raczej wolno, jego wysokość względna natomiast znacznie szybciej od wartości prądu (rys. 2.21). Wierzchołek ten zaczyna z czasem dominować nad swym lewostronnym sąsiadem, w wyniku czego przy większych gęstościach prądu, równych ok. 2 A/cm^2 , ponownie obserwuje się tylko jeden wierzchołek przesuwający się w kierunku większych energii. Jego szybkość przesuwania się jest jednak znacznie mniejsza od szybkości, z jaką przesuwał się wierzchołek obserwowany przy bardzo małych wartościach prądu. Proces "przesuwania" się tego wierzchołka przedstawiono na rys. 2.22, z którego wynika, że pojęcie przesuwania nie może być tutaj brane dosłownie. Należy raczej uważać, że ze wzrostem prądu zbocze charakterystyki od strony małych energii ulega "nasyceniu", podczas gdy podnosi się szybko zbocze od strony dużych energii. Jest przy tym rzeczą charakterystyczną, że natężenie promieniowania określone przez to zbocze charakterystyki jest wykładniczą funkcją energii fotonów hν. Współczynnik w wykładniku tej funkcji jest stały i wynosi $2,5 \text{ eV}$.

Badając zjawisko przesuwania się wierzchołka charakterystyki dla diod wykonanych z materiału o różnej koncentracji domieszek otrzymuje się krzywe przedstawione na rys. 2.23. Krzywe obrazują zachowanie

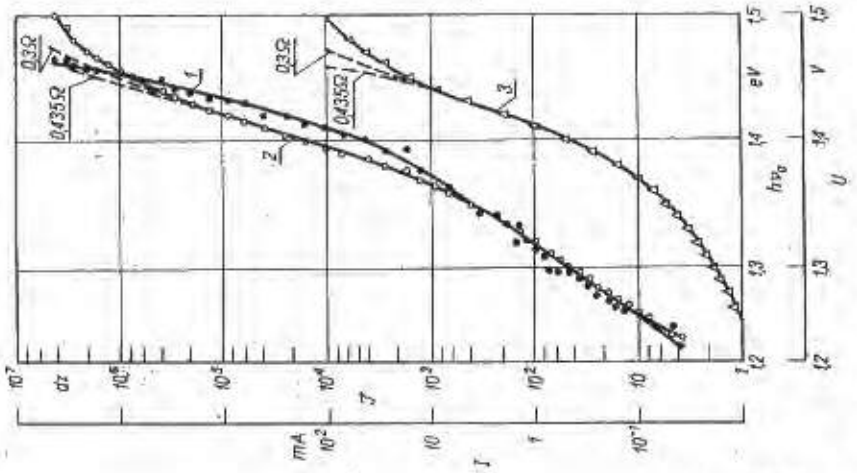
charakterystyki widmowej od prądu dla diod wykonanych z materiału o różnej koncentracji domieszek dla temperatury $T_0 = 78 \text{ K}$. Zaznaczając (oznaczone kolankami) natężenie dyfundującą cynk, oznaczoną koncentracją $5 \cdot 10^{15} \text{ atom/cm}^3$. Ziąga epitakialne (oznaczone kwadratami) wykonane na podłożu domieszkowanym cynkiem; 2 — $N_A = 3 \cdot 10^{18} \text{ atom/cm}^3$ [5.6] atomy/cm³; 2 — $N_A = 3 \cdot 10^{19} \text{ atom/cm}^3$ [5.6] atomy/cm³.

2.3.6. Mechanizm przejęścia promienistych i transportu nośników w obszarze złota. Zarówno mechanizm promienistych przejęścia nośników jak i proces ich wstrzykiwania do obszaru, w którym ulegają one rekombinacji, nie został dotychczas dokładnie poznany. Szczególnie duże trudności występują przy ustalaniu poziomów, między którymi zachodzi przejęście. Na podstawie zebranego materiału doswiadczeniowego można jednak przypuszczać, że przy małych koncentracjach domieszek, a więc

dla $N_D < 10^{17}$ atom/cm³, przejście zachodzi między pasmem przewodnictwa a poziomami akceptorowymi. Dla dużych koncentracji ($N_D > 10^{18}$ atom/cm³) pasma domieszkowe zlewają się z pasmami głównymi i uważa się, że rekombinacja zachodzi między tak zniekształconymi pasmami. Przy jeszcze większych koncentracjach występują znaczne trudności w określaniu stanów biorących udział w przejściach. Można jedynie przypuszczać, że pasma przewodnictwa i walencyjne ulegają bardzo znacznemu zniekształceniowi, a nawet, że domieszki powodują zmieszanie się stanów o różnych wartościach wektora falowego k i w związku z tym przestaje obowiązywać reguła wyboru pędu dla przejść bezpośrednich. Zachodzące wówczas przejścia różnią się w sposób zasadniczy od normalnie spotykanych [2, 5].

Badania nad zniekształcaniem dolnej krawędzi pasma przewodnictwa wywołanego znaczną liczbą atomów domieszka w półprzewodniku (np. ok. 10^{18} atom/cm³) doprowadziły do wniosku, że rozkład stanów w tym pasmie z parabolicznego staje się wykładowiczny, przy czym krawędź pasma znacznie się obniża w kierunku pasma zabronionego tworząc rodzinę „ogona” [2, 6]. Wniosek ten znajduje potwierdzenie w wynikach pomiarów charakterystyki widmowej i jej przesunięcia w funkcji prądu (rys. 2.22). Jeżeli bowiem przyjmie się, że stany o wykładowiczym rozkładzie energetycznym są wypełniane przez wstrijknięcie nośników mniejszościowych i że czas życia nośników jest wystarczająco długi, aby mogły ustalić się równoważna termodynamiczna w obszarze wypełnianego pasma, to wierzchołek charakterystyki elektroluminescencyjnej powinien wypadnąć tuż ponizej energii E_g i przesuwać się ze wzrostem napięcia w sposób obserwowany w doświadczaniach. Ponadto zboce charakterystyki emisywnej od strony dużej energii powinno opadać odpowiadając do rozkładu Fermiego, tzn. według funkcji wykładniczej o wykładowiku kT (obserwowano ok. $2,5 \text{ kT}$). Zboce charakterystyki od strony małych energii powinno natomiast odzwierciedlać rozkład gęstości zasięgów stanów. Można więc oczekwać, że na zbożu tej części charakterystyki wystąpi „nasycenie” intensywności emisji, jak również, że zboce rzeczywiste niezależne od temperatury. Wszystkie wymienione zjawiska rzeczywiste są obserwowane w praktyce (rys. 2.22).

Proces transportu nośników w obszarze złącza jest funkcją koncentracji domieszki oraz gęstości prądu płynącego przez złącze. Model mechanizmu transportu, za którym w chwili obecnej przemawia najwięcej faktów doswiadczałnych, przynajmniej w zakresie koncentracji domieszki $10^{17} \div 2 \cdot 10^{18}$ atom/cm³, opiera się na założeniu, że nośniki są wstrzykiwane w wyniku tunelowania „skośnego” i „poziomego” [2, 4]. Konieczna ta została zaproponowana w wyniku analizy zależności natężenia promieniowania emitowanego przez diodę od przyłożonego do niej napięcia. Przykład takiej zależności przedstawiono na rys. 2.24 jako krzywą zaznaczoną kółkami. Krzywa ta w innym układzie wspólnych



Rys. 2.24. Natężenie promieniowania w zależności od napięcia na diodzie wierzchołkowej linii dla temperatury $T_a = 77^\circ\text{K}$. Ponizej charakterystyka $I-U$: I — linią przerwanymi znakami oznaczono korekcję uwzględniającą rezystancję szeregową diody [2,14]; $I = \frac{1}{2} - \frac{1}{2}f(U)$; $I = f(U)$; $\mathcal{S}_A = \frac{1}{2}I$.

w dwa obszary o wyraźnie różnym nachyleniu. W obszarze A zawartym między 1,23 i 1,37 V natężenie promieniowania jest określone zależnością (2.15)

$$\mathcal{S}_A = \xi_0 \exp(S_A U_x)$$

w którym:

$$U_x \text{ — przyłożone napięcie;} \\ S_A = 42 \text{ V}^{-1}; \\ \xi_0 \text{ — stały współczynnik.}$$

W obszarze B, odpowiadającym $U_x > 1,37$ V, nachylenie krzywej rośnie do wartości $S_A = 100 \text{ V}^{-1}$. Jest rzeczą niezwykle interesującą, że wartości S_A i S_E nie zależą od temperatury i są stałe, jak stwierdzono na podstawie pomiarów, aż do temperatury $4,2^\circ\text{K}$. Zgodnie z klasyczną

Teoria przenoszenia nośników przez złącze na zasadzie dyfuzji, nachylonej S powinno być proporcjonalne do T^{-1} . Sprzeczność z doświadczeniem może być wyjaśniona jedynie przyjęciem hipotezy, że ruch nośników odbywa się na zasadzie efektu tunelowego obserwowanego np. w diodach tunelowych [2.7]. Wzrost wielkości nachylienia przy przejściu z obszaru A do B sugeruje, że mamy do czynienia z dwoma odmiennymi mechanizmami tunelowania. Zachowanie się diody w obszarze A można wytlumaczyć na podstawie modelu, który przedstawiono na rys. 2.25. Elektron ze strony n i dziura ze strony p złącza tunelują z poziomów Fermiego ku środkowi obszaru złącza i tam rekombinują emittując foton o energii $\hbar\nu$. Biorąc pod uwagę kierunek ruchu nośników na wykresie z rys. 2.25 tunelowanie to nazywano skośnym. Sięgnoszność mechanizmu tunelowania skośnego została potwierdzona przez obliczenia prawdopodobieństwa tunelowania elektronu i dziury. Prawdopodobieństwo to dla każdego z poszczególnych aktów przejścia elektronu bądź dziury zostało określone przez Keldysza w następujący postaci [2.8]:

$$P_x = \exp\left(-\pi \frac{e \mathfrak{D}_x}{K} \frac{\pi}{K}\right) \quad (2.16)$$

przy czym:

$$\alpha = \frac{\pi \sqrt{m^*}}{2e h};$$

m^* — masa tunelującego elektronu (dziury);
 K — natężenie pola elektrycznego w złączu;

\mathfrak{D}_x — bariera, poprzeczkująca tunelowaniu elektronów i dziur. Zakładając w pierwszym przybliżeniu, że

$$V_n + V_p \ll \frac{E_0}{e} - U_x \quad (2.17)$$

mogliśmy na podstawie rys. 2.25 opisać barierę \mathfrak{D}_x za pomocą wyrażenia

$$\mathfrak{D}_x = \frac{1}{2}(E_0 - \hbar\nu) \approx \frac{1}{2}e(V_i - U_x) \quad (2.18)$$

przy czym:

E_0 — szerokość pasma zabronionego;
 V_i — potentiał dyfuzyjny;

V_n i V_p zdefiniowano na rys. 2.25.
 Łatwo stwierdzić, że

$$V_i = \frac{E_0}{e} + (V_p + V_n) \quad (2.19)$$

Przyjmując teraz, że rozkład domieszek w złączu jest liniowy oraz

że o prawdopodobieństwie tunelowania decyduje maksymalne natężenie pola K_m w złączu, wyrażone przez

$$K_m \approx \frac{1.5(V_i - U_x)}{W} \quad (2.20)$$

otrzymujemy się na podstawie wyrażenia (2.16) następujące wyrażenie na natężenie promieniowania:

$$\mathfrak{I} + P_x = \exp\left(-\alpha W_1 e^{\frac{3}{2}} / 1.5\sqrt{2}\right) (V_i - U_x)^{\frac{5}{2}} \quad (2.21)$$

przy czym:

W — szerokość złącza;

$$W_1 = W(V_i - U_x)^{\frac{1}{2}}.$$

Wartość m^* wchodząca do α wynosi $\frac{1}{m^*} = \frac{1}{m_e^*} + \frac{1}{m_h^*}$, przy czym m_e^* jest masą efektywną tunelującego elektronu, m_h^* — masą efektywną tunelującej dziury.

Nachylenie krzywej $\lg \mathfrak{I} = f(U_x)$ obliczone na podstawie wzoru (2.21) zgadza się bardzo dobrze z wartością znalezionej na podstawie krzywej z rys. 2.24, co świadczy o słuszności przedstawionego modelu. Ponadto przemawiają za nią inne obserwacje, a mianowicie: — nachylenie S mierzone dla diod z różnym rozkładem domieszek w złączu jest proporcjonalne do W_1 , zgodnie z zależnością teoretyczną; — częstotliwość odpowiadająca wierzchołkowi widma emitowanego promieniowania odpowiada wartości $\frac{eV_x}{h}$, w której h jest stała Plancka. Ten ostatni związek stanie się oczywisty, jeśli weźmie się pod uwagę, że elektrony i dziury znajdują się bardzo blisko poziomów quasi-Fermiego mają największe prawdopodobieństwo tunelowania, ponieważ barrierą potencjalną, przez którą powinny tunować, jest dla nich mniejsza.

Zmiana nachylenia S dla napięć $U_x > 1.37$ V może być wy tłumaczena na podstawie mechanizmu tunelowania poziomego, w którym elektrony ze strony n przechodzą na poziomy pasma przewodnictwa po stronie p . Poziomy te stanowią omówiony wyżej „ogon” pasma przewodnictwa i ich gęstość zmienia się wyjątkniczo w miarę zmian energii wg zależności

$$dN(E') = \text{const} \exp(\alpha E') dE' \quad (2.22)$$

przy czym:

E' — energia zdetyniowana na rys. 2.26;

$\frac{1}{\alpha}$ — pewna charakterystyczna wartość energii dla „ogona” pasma.

Dokładna natura przejścia nazwanego tutaj tunelowym nie jest do tychczas dokładnie znana. Uważa się, że może to być rzeczywiście tunelowanie poprzez barierę potencjalną lub też dyfuzja nośników wzdłuż



Rys. 2.25. Model mechanizmu „skośnego tunelowania” elektronów [2.4]

Przyjmując teraz, że rozkład domieszek w złączu jest liniowy oraz że o prawdopodobieństwie tunelowania decyduje maksymalne natężenie pola K_m w złączu, wyrażone przez

$$K_m \approx \frac{1.5(V_i - U_x)}{W} \quad (2.20)$$

otrzymujemy się na podstawie wyrażenia (2.16) następujące wyrażenie na natężenie promieniowania:

$$\mathfrak{I} + P_x = \exp\left(-\alpha W_1 e^{\frac{3}{2}} / 1.5\sqrt{2}\right) (V_i - U_x)^{\frac{5}{2}} \quad (2.21)$$

przy czym:

W — szerokość złącza;

$$W_1 = W(V_i - U_x)^{\frac{1}{2}}.$$

Wartość m^* wchodząca do α wynosi $\frac{1}{m^*} = \frac{1}{m_e^*} + \frac{1}{m_h^*}$, przy czym m_e^*

jest masą efektywną tunelującego elektronu, m_h^* — masą efektywną tunelującej dziury. Nachylenie krzywej $\lg \mathfrak{I} = f(U_x)$ obliczone na podstawie wzoru (2.21) zgadza się bardzo dobrze z wartością znalezionej na podstawie krzywej z rys. 2.24, co świadczy o słuszności przedstawionego modelu. Ponadto przemawiają za nią inne obserwacje, a mianowicie: — nachylenie S mierzone dla diod z różnym rozkładem domieszek w złączu jest proporcjonalne do W_1 , zgodnie z zależnością teoretyczną; — częstotliwość odpowiadająca wierzchołkowi widma emitowanego promieniowania odpowiada wartości $\frac{eV_x}{h}$, w której h jest stała Plancka. Ten ostatni związek stanie się oczywisty, jeśli weźmie się pod uwagę, że elektrony i dziury znajdują się bardzo blisko poziomów quasi-Fermiego mają największe prawdopodobieństwo tunelowania, ponieważ barrierą potencjalną, przez którą powinny tunować, jest dla nich mniejsza.

Zmiana nachylenia S dla napięć $U_x > 1.37$ V może być wy tłumaczena na podstawie mechanizmu tunelowania poziomego, w którym elektrony ze strony n przechodzą na poziomy pasma przewodnictwa po stronie p . Poziomy te stanowią omówiony wyżej „ogon” pasma przewodnictwa i ich gęstość zmienia się wyjątkniczo w miarę zmian energii wg zależności

$$dN(E') = \text{const} \exp(\alpha E') dE' \quad (2.22)$$

przy czym:

E' — energia zdetyniowana na rys. 2.26;

$\frac{1}{\alpha}$ — pewna charakterystyczna wartość energii dla „ogona” pasma.

Dokładna natura przejścia nazwanego tutaj tunelowym nie jest do tychczas dokładnie znana. Uważa się, że może to być rzeczywiście tunelowanie poprzez barierę potencjalną lub też dyfuzja nośników wzdłuż

pasm domieszkowych [2.4]. W każdym jednak przypadku jest to przejęcie bez zmiany energii z tego ostatniego faktu wynika wówczas, że stany w „ogonie” zostaną zapelnione do poziomu E' odpowiadającego poziomowi quasi-Fermiego po stronie n złącza. Wartość energii E' można wyznaczyć za pomocą zależności

$$\frac{dN(E)}{dE} = \text{const} \cdot \frac{1}{\pi \hbar \omega} \frac{eV_a}{E^2 - E'^2}$$

rys. 2.26. Model mechanizmu „pośredniego tunelowania” elektronów [2.4]

jeśli cykl przepływu prądu jest zakotwiczony przez promieniowanie rekombinacyjne, którego odpowiadająca zycia nośników τ niezależny od energii E' , to natężenie promieniowania \mathcal{J} będzie wielkością proporcjonalną do gęstości stanów $N(E')$, a więc

$$\mathcal{J} = \exp(aE') \quad (2.24)$$

Biorąc pod uwagę zależność (2.23) widać, że według wyrażenia (2.4) natężenie jest wykładowicza funkcja napięcia U_x przyłożonego do lody, zgodnie z wynikiem doswiadczeniальным przedstawionym na rys. 2.24. W tym samym rysunku podano dla porównania zmierzona zależność między natężeniem promieniowania a energią $h\nu_0$ odpowiadającą wierciakowi charakterystyki. Charakterystyka ta ma takie samo nachylenie kątowe $\mathcal{J} = f(U_x)$, jest jednak względem niej przesunięta o pewną wielką wartość U_0 . Dowodzi to, że wspomniana wyżej odpowiedniość między eU_x a $h\nu_0$ wytraja się następującą zależnością

$$\mathcal{J} = \exp(aE') \quad (2.25)$$

Biorąc pod uwagę zależność (2.23) widać, że według wyrażenia (2.4) natężenie jest wykładowicza funkcja napięcia U_x przyłożonego do lody, zgodnie z wynikiem doswiadczeniальным przedstawionym na rys. 2.24. W tym samym rysunku podano dla porównania zmierzona zależność między natężeniem promieniowania a energią $h\nu_0$ odpowiadającą wierciakowi charakterystyki. Charakterystyka ta ma takie samo nachylenie kątowe $\mathcal{J} = f(U_x)$, jest jednak względem niej przesunięta o pewną wielką wartość U_0 . Dowodzi to, że wspomniana wyżej odpowiedniość między eU_x a $h\nu_0$ wytraja się następującą zależnością

Napięcie U_0 stanowi małą część napięcia U_x i jest wielkością zależną temperatury. Sens fizyczny tego napięcia może być wyjaśniony na istrawie szczegółowej analizy mechanizmu „wypełniania pasma” zgodnie z której dyfuzję nośników po dokonaniu tunelowania oraz fakt, rekombinacja zachodzi między dziurami a elektronami, których energetyzują się w pewnym przedziale o skończonej szerokości. Na podstawie przedstawionych wyżej dwóch mechanizmów transportu nośników przez złącze p-n można wyjaśnić opisane w p. 2.3.4 zjawisko występowania dwóch wierchołków charakterystyki elektroluminescencyjnej przewijających się z różną szybkością w miarę wzrostu natężenia. Stwierdzono mianowicie, że pierwszy wierchołek wiąże się z tunelaniem skaźnym. Zmiana napięcia przyłożonego do złącza pociąga sobą zmianę odległości między poziomami biorącymi udział w rekombinacji i stąd wynika duża szybkość przesuwania się wierzchołka char-

akterystyki odpowiadającej tej rekombinacji. Wierzchołek przesuwający się wolniej wiąże się z tunelowaniem pasowym. Jego przesunięcie wynika z obsadzenia coraz to wyżej położonych stanów w miarę wypelniania „ogona” przez wstrzykiwanie nośnika.

Istnieje przypuszczenie, że obok wymienionych dwóch mechanizmów przenoszenia nośników może istnieć również trzeci mało dotychczas poznany. O jego istnieniu świadczy charakterystyka emisjna, której wierzchołek występuje przy wartości energii niezależnej od napięcia przyłożonego do diody. Zjawisko to występuje jednak przy małych koncentracjach domieszków ($N_D < 10^{14}$ atom/cm³) i dlatego należy sądzić, że nie odgrywa ono roli w złączach, z których są wykonywane laserzy. Reasumując można więc stwierdzić, że wstrzykiwanie nośników w złączach złączowych, w zakresie prądów przekraczających próg pobudzenia, odbywa się na zasadzie poziomego tunelowania elektronów do pasma przewodniczącego po stronie p złączu.

2.4. Warunki wystąpienia akcji laserowej w złączach p-n

Nośniki wstrzyknięte na przeciwną stronę złącza ulegają prawie natychmiastowej rekombinacji z napotkanymi tam nośnikami przeciwnego znaku. W procesie tym wytwarzają się kwanty światła całkowicie przypadkowe w czasie i kierunku. Ich energia jest rozłożona na znacznych obszarze widma i zależy między innymi od temperatury złącza, koncentracji domieszek oraz poziomu iniekcji nośników. Ta część promieniowania ma zatem charakter emisji spontanicznej. Wielkość wytworzonych fotонów startuje w kierunkach prowadzących do szybkiego opuszczenia obszaru czynnego i nie ma wpływu na zachodzące w nim zjawiska. Obok nich są jednakże i takie, które poruszają się niemal dokładnie w płaszczyźnie złącza, dzięki czemu przez znaczny okres czasu pozostają w obszarze z inwersją obsadzeń, oczywiście jeśli nie została wcześniej zaabsorbowane. Fotony te zderzając się z pobudzonymi elektronami mogą wywołać opisany w rozdz. 1 proces emisji wymuszonej. Intensywność tego procesu nasila się szybko w miarę wzrostu gęstości wstrzykniętych nośników. Warunkiem do tego, aby emisja wymuszona kompensowała zachodzące jednocześnie zjawisko absorpcji, jest spełnienie nierówności (2.14). Uzyskuje się wówczas wzmacnienie promieniowania. Najbardziej efektywne w rozwijaniu procesu emisji wymuszonej są oczywiście kwanty o energii odpowiadającej częstotliwości, dla której występuje maksimum wzmacnienia. Promieniowanie o tej częstotliwości lub do niej zbliżonej staje się zatem dominujące w miarę wzrostu natężenia prądu. Pociąga to za sobą ogólne zwężenie widmowej charakterystyki emisji oraz szybszy wzrost natężenia promieniowania o wybranej częstotliwości. W celu uzyskania akcji laserowej niezbędne jest jednak, jak wiadomo z rozdz. 1, nadanie układowi wzmacniającemu własności

rezonansowych oraz wprowadzenie dodatniego sprzężenia zwrotnego. Z uwagi na wielkie wzmacnienie optyczne uzyskiwane w złączach p-n odbicie części promieniowania od przeciwnie położonych ścian ograniczających złącze. Z reguły wystarczające jest odbicie na granicy pomiędzy przewodnik-powietrze, odbijające płaszczyzny muszą być jednak prostowane do płaszczyzny złącza i usytuowane względem siebie pod odpowiednim kątem. Złącze spełniające ten warunek będzie dalej nazywane rezonatorem. Rezonator narzuca dalsze warunki na tę część promieniowania spontanicznego, która będzie brała udział w procesie emisji wyrażającej się nie tylko w płaszczyźnie niezbędnej od płaszczyzny odbijających. Prad, przy którym wzmacnienie układu osiągnie wartość dostateczną do tego, aby liczba fotonów powstających w wyniku emisji prądziego wzbudzenia się drgania w rezonatorze, nosi nazwę

2.4.1. Propagacja promieniowania w rezonatorze. Opisana wyżej emisja fotonów jest oczywiście równoznaczna z generacją fal elektromagnetycznych. Rozpatrując rezonator jako ośrodek, w którym te fale się rozchodzą, można przyjąć, że półprzewodnik z wytwarzonym w nim złączem jest obszarem o własnościach dielektryka, którego stała dielektryczna ε zmienia się odpowiednio do zmian ładunku przestrzennego i może być zapisana w następujący sposób [2.26]:

$$\epsilon_4 = \epsilon_1 - \frac{\sigma_1}{j\omega} \left. \begin{cases} \epsilon_2 = \epsilon_2' + \frac{\sigma_2}{j\omega} \\ \epsilon_3 = \epsilon_3' + \frac{\sigma_3}{j\omega} \end{cases} \right\} \quad (2.26)$$

przy czym:

$$\epsilon_1, \epsilon_2, \epsilon_3' — składowe rzeczywiste stałej dielektrycznej w obszarach 1, 2 i 3 (rys. 2.27);$$

$\sigma_1, \sigma_2, \sigma_3$ — przewodność tych obszarów;

ω — pulsacja.

Wartości składowych rzeczywistych stałej dielektrycznej są różne dla puszczalnych obszarów rozpatrywanego dielektryka. W szczególności uważa się, że obecność ładunku swobodnych nośników w obszarach p i n przylegających do złącza oraz ich brak w jego obszarze centralnym powoduje nieciągłość wartości ε' przy granicach złącza [2.27]. Zagadnienie propagacji promieniowania w rezonatorze sprowadza się zatem do analizy rozchodzenia się fali elektromagnetycznych w warstwie dielektryka ograniczonej przez nieciągłość wartości stałej dielek-

trycznej. Zgodnie z wynikami tej analizy, w warstwie o takich właściwościach mogą występować fale rozchodzące się w jej płaszczyźnie i zanikające wykładniczo w kierunku do niej prostopadłym. Rodzaje tych fal, lub ścisłej rodzaje rozchodzenia się fal, zwane też często miodami, mogą być podzielone, podobnie jak to zachodzi w falowo-klasycznych, na mody TE odpowiadające falom elektrycznym poprzecznym oraz mody TM odpowiadające falom poprzecznym magnetycznym (rys. 2.27). Zjawisko ograniczenia warstwy dielektryka płaszczyznami równoległymi do płaszczyzny złącza, wywołane nieciągłością stałej dielektrycznej, powoduje znaczące zmniejszenie strat promieniowania w obszarach 2 i 3 przylegających do obszaru czynnego 1 [2.27, 2.28].

Płaszczyzny graniczne, równolegle do złącza, łącznie z prostopadlymi do nich płaszczyznami odbijającymi tworzą rezonator, który w najprostszym przypadku ma kształt prostokąta o wymiarach $l \times a \times d$ (rys. 2.27). Wykorzystując w odniesieniu do tego rezonatora wyniki odpowiednio uproszczonej teorii rezonatorów metalicznych można znaleźć wyrażenie określające częstotliwość rezonansową drgań, które w takim rezonatorze mogą się wzbudzić [1.1]. Wyrażenie to ma następującą postać:

$$\left(\frac{m\pi}{l} \right)^2 + \left(\frac{n\pi}{a} \right)^2 + \left(\frac{q\pi}{d} \right)^2 = \left(\frac{2\pi\nu}{c} \right)^2 \quad (2.27)$$

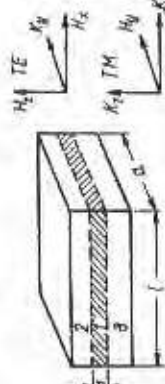
przy czym m, n, p, q — liczby całkowite.

Każdemu układowi tych liczb odpowiada określona długość fali i jej sposób rozchodzenia się w rezonatorze, a więc charakteryzuje one modę rezonatora. Interpretacja wyrażenia (2.27) jest bardzo prosta w przypadku szczególnym, gdy drgania w rezonatorze mają charakter fal planiskich rozchodzących się wzdłuż osi podłużnej rezonatora. Wówczas zachodzi warunek $p=q=0$ i otrzymujemy się:

$$\frac{m}{l} = \frac{2\nu}{c} \quad (2.28)$$

$$\frac{m}{n} = 2 l$$

Częstotliwość rezonansowa odpowiada zatem takiej długości fali, dla której między płaszczyznami odbijającymi ułoży się całkowita liczba m połówek fal, a więc powstanie fala stojącej. Każda liczba n charakteryzuje przy tym określony mod rezonatora. Grupa modów spełniających



Rys. 2.27. Model rezonatora oparty na elektromagnetycznej teorii propagacji promieniowania w laserze

zależność (2.28) jest nazywana modami osiowymi. W odróżnieniu od nich mody, dla których $p \neq q \neq 0$, noszą nazwę mody nieosiowych.
Odległość w sensie długości fali między kolejnymi dozwolonymi modami osiowymi jest określona różnicą dλ między długosiłami fal odpowiadającymi m i $m+1$. Można obliczyć, że odległość ta wyraża się następującym wzorem:

$$\frac{l d \lambda}{\lambda^2} = \frac{1}{2n \left(1 - \frac{\beta}{n} \frac{dn}{dz} \right)} \quad (2.29)$$

2.4.2. Prąd progowy lasera. Falc elektromagnetyczne rozchodzące się w obszarze rezonatora są wzmacniane lub tłumione, co zależy od znaku wypadkowego współczynnika wzmacnienia będącego różnicą współczynnika wzmacnienia α związanego z emisją stymulowaną i współczynnikiem określającego straty objętościowe w obszarze czynnym i otaczającym go materiały.

Współczynnik wzmacnienia α jest oczywiście równy co do wartości bezwzględnej współczynnikowi absorpcji k_e (rozdz. 1), jego wartość może zatem znaleźć się na podstawie wyrażenia (1.8). W tym celu przyjęto założenie, że charakterystykę absorpcyjną z dostatecznie dobrą dokładnością można opisać za pomocą unormowanej funkcji Lorentza

$$\gamma(\nu) = \frac{\Delta\nu}{2\pi} \frac{1}{(\nu - \nu_0)^2 + \left(\frac{\Delta\nu}{2}\right)^2} \quad (2.30)$$

przy czym:

- ν_0 — częstotliwość odpowiadająca środkowi charakterystyki;
- $\Delta\nu$ — szerokość charakterystyki mierzona między punktami odpowiadającymi połowie mocy.

Dzięki unormowaniu

$$\int_{-\infty}^{\infty} \gamma(\nu) d\nu = 1 \quad (2.31)$$

współczynnik wzmacnienia $\alpha(\nu)$ może być przedstawiony w następującej postaci:

$$\alpha(\nu) = \int k_e d\nu \cdot \gamma(\nu) \quad (2.32)$$

co po podstawieniu wartości całki ze wzoru (1.8) oraz uwzględnieniu wartości A_{nm} daje wyrażenie

$$\alpha(\nu) = \frac{c^3}{8\pi^2 n^2 \tau} \frac{g_n}{g_m} \left(N_m - \frac{g_m}{g_n} N_n \right) \gamma(\nu) \quad (2.33)$$

w którym:

- N_n i N_m — liczba atomów w 1 cm³ znajdujących się na poziomach wyższym i niższym;
- g_n i g_m — liczby określające krotność poziomów;
- n — współczynnik załamania;
- τ — czas życia nośnika odpowiadający przejściu spontanicznemu z poziomu wyższego na poziom niższy.

W rozwojeniu akcji laserowej najbardziej efektywne jest promieniowanie o częstotliwości ν_b , dla której występuje maksimum wzmacnienia. W dalszych rozważaniach będzie przeto brana pod uwagę wartość $\alpha(\nu)$ w punkcie ν_b , która po dokonaniu odpowiednich podstawień do wzoru (2.33) można wyrazić za pomocą zależności

$$\alpha(\nu_b) = \frac{\lambda^2}{4\pi^2 n^2 \tau} \left[N_m \left(\frac{g_n}{g_m} \right) - N_n \right] \frac{1}{\Delta\nu} \quad (2.34)$$

w której $\Delta\nu = \frac{2}{\pi\gamma(\nu_b)}$ — szerokość charakterystyki emisji spontanicznej.

W przypadku temperatur bliskich 0°K można przyjąć $N_m = 0$, co upraszcza wyrażenie (2.34) do postaci

$$\alpha(\nu_b) = - \frac{\lambda^2}{4\pi^2 n^2 \Delta\nu} \tau \quad (2.35)$$

Horaz $\frac{N_n}{\tau}$ określa liczbę kwantów emitowanych w wyniku emisji spontanicznej w ciągu 1 s. Wielkość ta może być określona za pomocą wzoru

$$\frac{N_n}{\tau} = \frac{I \eta_{QW}}{e} \frac{1}{Ad} = \frac{J}{e} \frac{\eta_{QW}}{d} \quad (2.36)$$

w którym:

- I — prąd płynący przez złącze;
- e — ładunek elektronu;
- η_{QW} — wewnętrzna wydajność kwantowa (p. 5.6);
- A — pole powierzchni złącza;
- d — grubość obszaru czynnego;
- J — gęstość prądu.

Podstawiając te zależności do wzoru (2.35) otrzymujemy się wyrażenie

$$\alpha(\nu_b) = \frac{\lambda^2}{4\pi^2 n^2 \Delta\nu} \frac{J \eta_{QW}}{ed} \quad (2.37)$$

Wzbudzenie lasera może wystąpić tylko wówczas, gdy wypadkowe wzmacnienie fali w granicach obszaru czynnego w ciągu jednego kompletnego przejścia, tj. od jednego zwierciadła do drugiego i z powrotem, jest wystarczające do skompensowania strat wynikających z nieuzupełnionego odbicia promieniowania na końcach rezonatora. Warunek ten może być wyrażony w następującej postaci:

$$R_1 R_2 \exp(\alpha - \beta) \geq 1 \quad (2.38)$$

przy czym:

R_1, R_2 — współczynniki odbicia zwierciadła;

l — długość rezonatora.

W przypadku gdy $R_1 = R_2$, wyrażenie (2.38) przybiera postać

$$R \exp(\alpha - \beta) l = 1 \quad (2.39)$$

Biorąc pod uwagę otrzymany wynik oraz wyrażenie (2.37) można znaleźć wartość progowej gęstości prądu, tzn. natężenie prądu na jednostkę powierzchni złącza, przy którym jest spełniony warunek wzbudzenia się drgań

$$J_{pr} = \frac{4\pi^2 \epsilon n^2 d \Delta E}{\eta_{qo} \lambda^2} \left(\beta + \frac{\ln \frac{1}{R}}{l} \right) \quad (2.40)$$

W praktycznym stosowaniem układzie jednostek wyrażenie na gęstość prądu w $\frac{A}{cm^2}$ przyjmuje postać

$$J_{pr} = z \begin{pmatrix} \ln \frac{1}{R} \\ \beta + \frac{l}{d} \end{pmatrix} \quad (2.41)$$

przy czym:

$$z = 9.89 \cdot 10^4 \frac{n^2 E^2 d \Delta E}{\eta_{qo}}, \text{ w } A/cm^2; \quad (2.42)$$

E — energia odpowiadająca długoci promienowanej fali, w eV;
 ΔE — szerokość linii emisji spontanicznej, w eV;

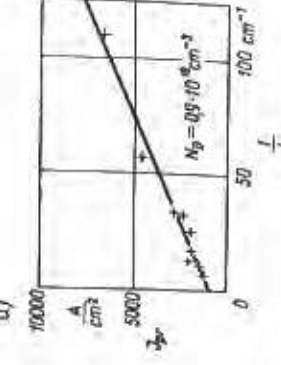
η_{qo} — wydajność obszaru czynnego, w cm;

β — współczynnik strat objętościowych, w cm^{-1} ;

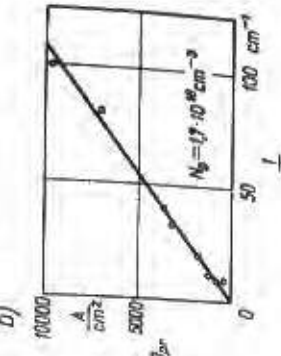
l — długość rezonatora, w cm.

Należy zwrócić uwagę, że współczynnik z w otrzymanym wyrażeniu jest również pewną funkcją prądu, gdyż zależy od niego wielkość $E_g(\lambda)$, η_{qo} i ΔE . Wyniki doswiadczeń wskazują jednak, że współczynnik z może być uwarzany z dobrym przybliżeniem za wartość stałą. Tak np.

a)



b)



Rys. 2.28. Gęstość prądu progowego wykresiona jako funkcja odwrotności długoci rezonatora Fabry-Pérol [2.9] dla różnych koncentracji donorów: a) $N_D = 4.9 \cdot 10^{18} \text{ cm}^{-3}$, b) $N_D = 1.7 \cdot 10^{18} \text{ cm}^{-3}$.

uzystkana w drodze doswiadczonej zależność między wartością prądu progowego a odwrotnością długoci rezonatora, która przedstawiona na rys. 2.28, wykazuje proporcjonalność tych dwóch wielkości.

Przedstawione na rys. 2.28 wyniki umozliwiają ocenę wartości współczynników z i β , które wynoszą odpowiednio [2.9]:

$$\begin{aligned} x = 41.7 \text{ A/cm}, & \quad \beta = 14 \text{ cm}^{-1} \quad \text{dla } N_D = 0.9 \cdot 10^{18} \text{ atom/cm}^3 \\ x = 71.3 \text{ A/cm}, & \quad \beta = 3 \text{ cm}^{-1} \quad \text{dla } N_D = 1.7 \cdot 10^{18} \text{ atom/cm}^3 \end{aligned}$$

Wartość parametrów x i β można również znaleźć badając zależność prądu progowego od współczynnika odbicia R . Jak wynika ze wzoru (2.41), między tymi wielkościami zachodzi następujący związek:

$$\frac{1}{x} \ln J_{pr} - \beta l = \ln \frac{1}{R} \quad (2.43)$$

Półogarytmiczny wykres $\frac{1}{x} \ln J_{pr}$ w funkcji prądu progowego jest zatem linią prostą, z której przebiegu łatwo odczytać obydwa szukane parametry. Pomiar przeprowadzone na laserach pokrywanych warstwą elektryczną lub srebrem daly następujące wyniki [2.10]:

$$x = 200 \div 24 \text{ A/cm} \quad \text{oraz} \quad \beta = 10 \div 60 \text{ cm}^{-1}$$

Badania te wykazały również, że aproksymacja zależności między prądem progowym a wzmacnieniem za pomocą funkcji liniowej jest dośćeciecznie dobrą.

Przytoczone wyżej liczby określające wartość β wykazują znaczący rozrzut. Poza błędem, jakim niewątpliwie były obarczone pomiar, rozrzuł ten można tłumaczyć złożoną naturą przyczyn decydujących o wartości tego parametru. Straty promieniowania oznaczone wspólnym okresem β wynikają z absorpcji promieniowania w obszarze czynnym oraz jego dyfrakcji i rozproszenia, które prowadzą do absorpcji w części materiału przylegającej do obszaru czynnego. Wartość tych strat jest funkcją wymiarów obszaru czynnego, dłuższości fali i współczynnika załamania światła współczynnika absorpcji. Absorpcja może być związana z procesem odwrotnym do emisji (rozd. 1) i nosi wówczas nazwę absorpcji krawędziowej określonej jako przenoszenie elektronów z pasma walencyjnego do pasma przewodnictwa kosztem energii fotonów. Udział takiej absorpcji w obrębie obszaru czynnego zostaje uwzględniony przy wypro- wadzaniu wzoru (2.33). Obok absorpcji krawędziowej występuje tzw. absorpcja na swobodnych nośnikach, w wyniku której elektrony kosztem energii uzyskanej od fotonów przesuwają się na wyższe poziomy energetyczne w obrębie swego pasma. Spadając z nich następnie na niższe, nie obsadzone poziomy, elektrony oddają nadmiar energii do sieci kryształu, gdzie zostaje ona zamieniona na ciepło.

Liczbową wartość absorpcji, niezależnie od jej mechanizmu określa współczynnik absorpcji k . Jest on funkcją gęstości fotonów, szerokości pasma zabronionego w półprzewodniku, koncentracji znajdującej się

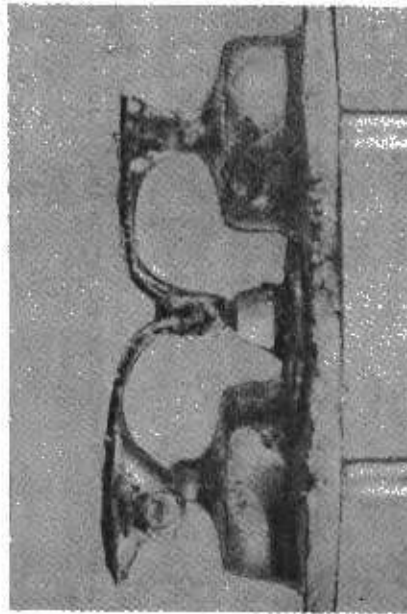
w nim domieszek oraz temperatury. Wartości współczynnika absorpcji dla arsenku galu typu p i typu n domieszkowanych odpowiednio cynkowo i tellurem dla różnych koncentracji występujących w laserach złamają większe nachylenie, odpowiadając absorpcji krawędziowej, początkowe odcinki krzywych okresacji natomiast absorpcję na swobodnych nosnikach.

Warto podkreślić, że w laserach spotykanych w praktyce dodatkową przyczyną strat są niewatpliwie wady wnęki rezonansowej, wskutek których znaczna część promieniowania wychodzi poza obszar czynny nie przyczyniając się do dalszego rozwoju emisji wymuszonej.

3. KONSTRUKCJA I TECHNOLOGIA LASERÓW ZŁĄCZOWYCH Z ARSENKU GALU

3.1. Ogólny opis budowy laserów

Zgodnie z rozważanymi rozdz. 2, laser złączowy jest diodą $p-n$ o odpowiednim kształcie złącza, które pełni jednocześnie funkcje wnęki rezonansowej. Zadaniem tej wnęki jest stworzenie warunków do wzbudzenia się oscylacji oraz uprzywilejowanie drgań o pożądanych modach. Klasyczną konstrukcję lasera zmontowanego na oprawce tranzystorowej pokazano na rys. 3.1. Sztic samego rezonatora typu Fabry-Perot



Rys. 3.1. Klasyczna konstrukcja lasera z rezonatorem typu Fabry-Perot zmontowanym na oprawce tranzystorowej [5,16]

przedstawiono na rys. 3.2. Złącze $p-n$ znajduje się zwykle w odległości $50 \div 20 \mu$ od powierzchni płytka w płaszczyźnie równoległej do tej powierzchni. Dla promieni biegących wzdłuż osi podłużnej lasera ściany przednia i tylna rezonatora spełniają funkcję półprzewodzących zwierciadeł. Sciany te są do siebie równoległe a ich powierzchnia bardzo gładka. W celu uniknięcia możliwości powstania akcji laserowej w kierunku poprzecznym, boczne powierzchnie rezonatora są matowe i nie-

Macierz fotodiod

Linijka diodowa jest stosowana w spektrometrii do rejestracji widma optycznego. Linijka typu S3903 (MOS Linear Image Sensor) składa się z 1024 fotodiod mających wspólny wzmacniacz i generator impulsowy. Wszystkie fotodiody wytworzone są na jednym podłożu krzemowym z krzemu typu p (anody o grubości 400 μ m) poprzez naniesienie na nie paski z warstwy krzemu typu n (katody o rozmiarach 2.5mm x 1 μ m). Każdy taki pasek stanowi fotodiode, która ma pojemność C=10pF.

Gdy na taką macierz fotodiod pada światło, to powstaje ładunek $Q = iT$ (i – prąd płynący przez fotodiodę proporcjonalny do intensywności światła, T – czas ładowania). Ładunek ten doprowadza do powstania na kondensatorze, jakim jest macierz, napięcia $V = Q/C$. Każdy z kondensatorów jest rozładowywany po kolei, co powoduje powstanie szeregu impulsów, których amplituda odpowiada intensywności światła padającego na odpowiedni element macierzy. Rozładowanie realizuje się przez jedną szynę łączącą wszystkie elementy macierzy poprzez tranzystory polowe. Generator powoduje „zamknięcie kolejnego klucza” i rozładowanie kolejnego elementu macierzy. Czas rozładowania jednego elementu macierzy jest rzędu ns, odpowiednio rozładowanie całej linijki odbywa się w czasie kilku ms. Częstotliwość powtarzania procesu (odczytywania macierzy) jest rzędu 1kHz. Impulsy z szyny trafiają do wzmacniacza, następnie na przetwornik ADC (analog-digital converter), który przekształca je w odpowiedni szereg zakodowanych cyfr. Z ADC cyfrowy szereg kodowy przekazywany jest do rejestrów pamięci komputera. W efekcie na ekranie monitora (dzięki zastosowaniu odpowiedniego programu) można oglądać widmo.

Parametry opisujące macierz, to:

1. zakres widmowy - dla S3903 (200; 1000)nm
2. czułość maksymalna - dla S3903 przy 650nm
3. zakres dynamiczny (stosunek maksymalnego sygnału do minimalnego sygnału) - dla S3903 jest 3 rzędy